



وزارت صنعت، معدن و تجارت

سازمان زمین شناسی و اکتشافات معدنی کشور

معاونت اکتشافات معدنی

مدیریت کانه‌آرایی و فرآوری

مطالعات متالورژیکی ذخایر مس در کشور و راهکارهای فرآوری

بخش اول: کانسنگ‌های سولفید توده‌ای



مجری طرح:

مدیریت کانه‌آرایی و فرآوری

اسفندماه ۱۴۰۰

سازمان رمیز شناسی و اکتشافات معدنی کشور

این گزارش مورد تأیید داوران شورای ارزیابی قرار گرفته و طبق کد شماره ۱۴۰۲/۱۲ گ ۳۳۴۵-۱۱۰۰-۱۴۰۰ از این شوراء، مجوز انتشار دریافت کرده است.

سازمان رمبن شناسی و اکتشافات معدنی کشور

چکیده

هدف این پژوهه، شناخت تیپ‌های مهم کانه‌زایی مس در ایران و بررسی قابلیت فرآوری و چالش‌های پیش‌روی فرآوری این کانسارها است. کانسارهای مس استراتیفروم با میزان رسوبی، کانسارهای مس سولفید توده‌ای و کانسارهای مانتو از پتانسیل‌های تولید مس هستند که در نقاط مختلف ایران پراکنده‌گی دارند و در بسیاری از موارد در زمینه پرعيارسازی و فرآوری با چالش روبرو هستند. به این لحاظ در این پژوهه از این سه تیپ کانه‌زایی مس نمونه‌گیری شده و چالش‌های فرآوری آنها مورد بررسی قرار خواهد گرفت. در گزارش حاضر دو نمونه کانسنگ سولفید توده‌ای از منطقه کرمان مورد مطالعه واقع شده است. کانسنگ‌های سولفید توده‌ای و همچنین کانسنگ‌هایی که در حاشیه توده‌های بزرگ پورفیری تشکیل شده‌اند و دارای سولفید بالا می‌باشند با چالش جداسازی پیریت از سولفیدهای بالارزش روبرو هستند. در این کانسنگ‌ها اغلب پیریت شایع‌ترین کانی سولفیدی است و لازم است در مدار فلوتاسیون از کانی‌های بالارزش جدا شود.

عيار مس در این دو کانسنگ ۶۵/۰ تا ۷/۰ درصد است. مطالعات کانی‌شناسی نشان می‌دهد، دو کانسنگ از نوع سولفید بالا هستند و پیریت و مارکاسیت فراوان‌ترین کانی‌سولفیدی آنها است. کانی‌های اولیه مس در دو کانسنگ کالکوپیریت بوده است که بعضًا به کالکوپیریت دگرسان شده است. بیش از ۹۰ درصد از کانی‌های مس در دانه‌بندی ۲۰۰ میکرون آزاد هستند. دانه‌های درگیری اغلب با پیریت و یا مارکاسیت درگیر هستند. پیریت در دانه‌های درگیر در ۱۰ تا ۳۰ میکرون از اجزاء متداول متن کانی کالکوپیریت و محصول دگرسانی آن یعنی کالکوپیریت است. مس بصورت طبیعی نیز در نمونه وجود دارد. باطله اصلی کانسنگ کانی‌های سیلیکاته هستند.

طرح‌های مختلف واکنشگرها درآزمایش‌های فلوتاسیون این دو کانسنگ، جداگانه مورد بررسی قرار گرفت و آزمایش‌های فلوتاسیون انجام شد. در این آزمایش‌ها از معرف‌های شیمیایی موجود یا قابل تأمین در بازار کشور استفاده شد. آزمایش‌های اولیه با هدف دستیابی به بازیابی بالای ۷۰ درصد مس از کانسنگ (انتخاب کلکتور کارآمد) انجام شد. و آزمایش‌های بعدی با هدف افزایش عیار محصول به بیش از ۲۰ درصد و کاهش مقدار پیریت در کنسانتره (بازداشت پیریت) متمرکز شد. در آزمایش نهایی با سه مرحله شستشوی کنسانتره رافر، محصولی حاوی ۲۱/۲ درصد مس با بازیابی کلی فلوتاسیون حدود ۸۸ درصد بدست آمد.

فهرست مطالب

صفحه	عنوان
۴	فصل ۱ کانی‌ها و کانسارهای مس
۲	۱-۱-آشنایی
۲	۲-کانی‌های مهم مس
۳	۳-طبقه‌بندی کانسارهای مس
۳	۱-۳-۱-کانسارهای مس پورفیری
۳	۲-۳-۱-کانسارهای مس رسوبی
۴	۱-۲-۳-۱-کانی‌سازی مس در گنبدهای نمکی حوضه زاگرس
۵	۲-۲-۳-۱-کانی‌سازی در سازند زاگون
۵	۳-۲-۳-۱-کانی‌سازی مس در سازند گردو (کرمان- طبس)
۵	۴-۲-۳-۱-کانی‌سازی مس در حوضه کپه‌داغ
۶	۳-۳-۱-کانسارهای مس سولفید توده‌ای و آتشفشنزاد
۷	۴-۳-۱-کانسارهای مس اسکارنی
۷	۵-۳-۱-کانسارهای مس تیپ مانتو
۹	فصل ۲ آماده‌سازی، شناسایی و خواص سنگی
۱۰	۱-۲-آشنایی
۱۰	۲-۲-آماده‌سازی نمونه
۱۱	۳-۲-شناسایی کانسنگ
۱۱	۱-۳-۲-آنالیز طلا
۱۲	۲-۳-۲-آنالیز ICP کانسنگ
۱۳	۳-۳-۲-پرعيارسازی ثقلی و مطالعات کانی‌شناسی
۱۳	۱-۳-۳-۲-آنالیزهای XRD
۱۴	۲-۳-۳-۲-مطالعات کانی‌شناسی
۱۷	۴-۳-۲-تجزیه سرندي، رابطه توزيع مس با دانه‌بندی
۱۹	۵-۳-۲-مطالعات قابلیت خردایش کانسنگ
۲۰	۱-۵-۳-۲-اندیس باند گلوله‌ای نمونه GHRZ2
۲۱	۲-۵-۳-۲-زمان خردایش تا رسیدن به دانه‌بندی ۲۰۰ مش
۲۲	۴-۴-۲-نتایج مطالعات شناسایی نمونه
۲۳	فصل ۳ مطالعات پرعيارسازی به روش فلوتاسیون
۲۴	۱-۳-آزمایش‌های فلوتاسیون
۲۵	۱-۳-آزمایش اول فلوتاسیون روی کانسنگ اول
۲۶	۲-۱-۳-آزمایش دوم فلوتاسیون (کانسنگ دوم)
۲۷	۳-۱-۳-آزمایش سوم فلوتاسیون (کانسنگ اول)
۲۸	۴-۱-۳-آزمایش چهارم فلوتاسیون (کانسنگ دوم)
۲۹	۵-۱-۳-آزمایش پنجم فلوتاسیون (کانسنگ اول)
۳۰	۶-۱-۳-آزمایش ششم فلوتاسیون (کانسنگ اول)
۳۱	۷-۱-۳-آزمایش هفتم فلوتاسیون (کانسنگ اول)

۲۲.....	۸-۱-۳-آزمایش هشتم فلوتاسیون (کانسنگ اول)
۲۳.....	۹-۱-۳-آزمایش نهم فلوتاسیون (کانسنگ دوم)
۲۴.....	۱۰-۱-۳-آزمایش دهم فلوتاسیون (کانسنگ دوم)
۲۵.....	۱۱-۱-۳-آزمایش یازدهم فلوتاسیون (کانسنگ دوم)
۲۶.....	۱۲-۱-۳-آزمایش دوازدهم فلوتاسیون (کانسنگ دوم)
۲۷.....	۱۳-۱-۳-آزمایش سیزدهم فلوتاسیون (کانسنگ اول)
۲۸.....	۱۴-۱-۳-آزمایش چهاردهم فلوتاسیون (کانسنگ اول + دوم)
۲۹.....	۱۵-۱-۳-آزمایش پانزدهم فلوتاسیون (کانسنگ اول)
۴۰.....	۱۶-۱-۳-آزمایش شانزدهم فلوتاسیون (کانسنگ اول)
۴۱.....	نتایج و پیشنهادها

سازمان رمیز شناسی و اکتشافات معدنی کشور

فهرست جدول‌ها

جدول(۱-۱): لیست کانی‌های اکسیدی اقتصادی مس.....	۲
جدول(۱-۲): آنالیز ICP کانسنگ اول.....	۱۲
جدول(۲-۲): آنالیز ICP کانسنگ دوم.....	۱۲
جدول(۳-۲): تجزیه سرندی، توزیع دانه‌بندی و عیاری مس در بخش‌های مختلف کانسنگ اول.....	۱۸
جدول(۴-۲): تجزیه سرندی، توزیع دانه‌بندی و عیاری مس در بخش‌های مختلف کانسنگ دوم.....	۱۹
جدول(۵-۲): محاسبات ان迪س باند گلوله‌ای نمونه اول.....	۲۰
جدول(۶-۲): محاسبات ان迪س باند گلوله‌ای نمونه دوم.....	۲۰
جدول(۷-۲): محاسبات ان迪س باند گلوله‌ای نمونه سوم.....	۲۱
جدول(۱-۳): شرایط عملیاتی آزمایش اول فلوتاسیون (کانسنگ اول).....	۲۵
جدول(۲-۳): محاسبات متالورژیکی مس آزمایش اول فلوتاسیون (کانسنگ اول).....	۲۵
جدول(۳-۳): شرایط عملیاتی آزمایش دوم فلوتاسیون (کانسنگ دوم).....	۲۶
جدول(۴-۳): محاسبات متالورژیکی مس آزمایش دوم فلوتاسیون (کانسنگ دوم).....	۲۶
جدول(۵-۳): شرایط عملیاتی آزمایش سوم فلوتاسیون (کانسنگ اول).....	۲۷
جدول(۶-۳): محاسبات متالورژیکی مس آزمایش سوم فلوتاسیون (کانسنگ اول).....	۲۷
جدول(۷-۳): شرایط عملیاتی آزمایش چهارم فلوتاسیون (کانسنگ دوم).....	۲۸
جدول(۸-۳): محاسبات متالورژیکی مس آزمایش چهارم فلوتاسیون (کانسنگ دوم).....	۲۸
جدول(۹-۳): شرایط عملیاتی آزمایش پنجم فلوتاسیون (کانسنگ اول).....	۲۹
جدول(۱۰-۳): محاسبات متالورژیکی مس آزمایش پنجم فلوتاسیون (کانسنگ اول).....	۲۹
جدول(۱۱-۳): شرایط عملیاتی آزمایش ششم فلوتاسیون (کانسنگ اول).....	۳۰
جدول(۱۲-۳): محاسبات متالورژیکی مس آزمایش ششم فلوتاسیون (کانسنگ اول).....	۳۰
جدول(۱۳-۳): شرایط عملیاتی آزمایش هفتم فلوتاسیون (کانسنگ اول).....	۳۱
جدول(۱۴-۳): محاسبات متالورژیکی مس آزمایش هفتم فلوتاسیون (کانسنگ اول).....	۳۱
جدول(۱۵-۳): شرایط عملیاتی آزمایش هشتم فلوتاسیون (کانسنگ اول).....	۳۲
جدول(۱۶-۳): محاسبات متالورژیکی مس آزمایش هشتم فلوتاسیون (کانسنگ اول).....	۳۲
جدول(۱۷-۳): شرایط عملیاتی آزمایش نهم فلوتاسیون (کانسنگ دوم).....	۳۳
جدول(۱۸-۳): محاسبات متالورژیکی مس آزمایش نهم فلوتاسیون (کانسنگ دوم).....	۳۳
جدول(۱۹-۳): شرایط عملیاتی آزمایش دهم فلوتاسیون (کانسنگ دوم).....	۳۴
جدول(۲۰-۳): محاسبات متالورژیکی مس آزمایش دهم فلوتاسیون (کانسنگ دوم).....	۳۴
جدول(۲۱-۳): شرایط عملیاتی آزمایش یازدهم فلوتاسیون (کانسنگ دوم).....	۳۵
جدول(۲۲-۳): محاسبات متالورژیکی مس آزمایش یازدهم فلوتاسیون (کانسنگ دوم).....	۳۵
جدول(۲۳-۳): شرایط عملیاتی آزمایش دوازدهم فلوتاسیون (کانسنگ دوم).....	۳۶
جدول(۲۴-۳): محاسبات متالورژیکی مس آزمایش دوازدهم فلوتاسیون (کانسنگ دوم).....	۳۶
جدول(۲۵-۳): شرایط عملیاتی آزمایش سیزدهم فلوتاسیون (کانسنگ اول).....	۳۷
جدول(۲۶-۳): محاسبات متالورژیکی مس آزمایش سیزدهم فلوتاسیون (کانسنگ اول).....	۳۷
جدول(۲۷-۳): شرایط عملیاتی آزمایش چهاردهم فلوتاسیون (کانسنگ اول + دوم).....	۳۸
جدول(۲۸-۳): محاسبات متالورژیکی مس آزمایش چهاردهم فلوتاسیون (کانسنگ اول + دوم).....	۳۸

۳۹	جدول(۲۹-۳): شرایط عملیاتی آزمایش پانزدهم فلوتاسیون (کانسنگ اول)
۳۹	جدول(۳۰-۳): محاسبات متالورژیکی مس آزمایش پانزدهم فلوتاسیون (کانسنگ اول)
۴۰	جدول(۳۱-۳): شرایط عملیاتی آزمایش شانزدهم فلوتاسیون (کانسنگ اول)
۴۰	جدول(۳۲-۳): محاسبات متالورژیکی مس آزمایش شانزدهم فلوتاسیون (کانسنگ اول)

فهرست شکل‌ها

شکل(۱-۲): تصویری از آماده‌سازی نمونه.....	۱۰
شکل(۲-۲): فلوچارت روش آماده‌سازی نمونه و تهیه جزء نمونه‌های معرف برای اهداف مختلف.....	۱۱
شکل(۳-۲): آنالیز XRD کنسانتره ثقلی کانسنگ اول.....	۱۳
شکل(۴-۲): آنالیز XRD کنسانتره ثقلی کانسنگ دوم.....	۱۴
شکل(۵-۲): نمایی از همرشدی فازهای سولفیدی کالکوپیریت مارکاسیت-پیریت. قطر میدان دید ۵۰۰ میکرون است.....	۱۵
شکل(۶-۲): نمایی از درگیری میکرونی پیریت (PY) با کانی‌های مس که در آن کالکوپیریت (CPY) با بافت باقیمانده در متن کالکوسیت (CC) قرار دارد. قطر میدان دید ۵۰۰ میکرون است.....	۱۵
شکل(۷-۲): نمایی از درگیری کانی‌های مس با پیریت (PY) که در آن کالکوپیریت (CPY) به کالکوسیت (CC) دگرسان شده و با بافت باقیمانده آثار آن در متن کانی ثانویه محفوظ مانده است. پیریت فازی پایدار و مصون از این دگرسانی بوده است. قطر میدان دید ۵۰۰ میکرون می‌باشد.....	۱۶
شکل(۸-۲): نمایی از بافت جزیره‌ای یا باقیمانده کالکوپیریت (CPY) در متن کالکوسیت (CC) و کولولیت (CV) در یک دانه آزاد کانه دار. قطر میدان دید ۵۰۰ میکرون است.....	۱۷
شکل(۹-۲): توزیع دانه‌بندی کانسنگ اول.....	۱۸
شکل(۱۰-۲): توزیع دانه‌بندی کانسنگ دوم.....	۱۹
شکل(۱۱-۲): تعیین زمان خردایش کانسنگ اول برای دستیابی به دانه‌بندی ۱۵۰ مش در آسیای گلوله‌ای.....	۲۱
شکل(۱۲-۲): تعیین زمان خردایش کانسنگ دوم برای دستیابی به دانه‌بندی ۱۵۰ مش در آسیای گلوله‌ای.....	۲۲
شکل(۱۳-۲): شماتیک کلی آزمایش‌های فلوتاسیون.....	۲۴

فصل ۱

کانی‌ها و کانسارهای مس

کانی‌ها و کانسارهای مس

سازمان رمیز شناسی و اکتشافات معدنی کشور

۱-۱- آشنایی

هدف این پروژه، شناخت تیپ‌های مهم کانه‌زایی مس در ایران و بررسی قابلیت فرآوری و چالش‌های پیش‌روی فرآوری این کانسارها است. کانسارهای مس استراتیفرم با میزان رسوبی، کانسارهای مس سولفید توده‌ای و کانسارهای مانتو از پتانسیل‌های تولید مس هستند که در نقاط مختلف ایران پراکنده‌گی دارند و در بسیاری از موارد در زمینه پرعيارسازی و فرآوری با چالش روبرو هستند. به این لحاظ در این پروژه از این سه تیپ کانه‌زایی مس نمونه‌گیری شده و چالش‌های فرآوری آنها مورد بررسی قرار خواهد گرفت.

در گزارش حاضر به کانسنگ‌های تیپ سولفید توده‌ای پرداخته شده است و نمونه‌ای از کانسنگ سولفید توده‌ای از منطقه کرمان مورد مطالعه واقع شده است. کانسنگ‌های سولفید توده‌ای و همچنین کانسنگ‌هایی که در حاشیه توده‌های بزرگ پورفیری تشکیل شده‌اند و دارای سولفید بالا می‌باشند با چالش جداسازی پیریت از سولفیدهای بالرزش روبرو هستند. در این کانسنگ‌ها اغلب پیریت شایع‌ترین کانی سولفیدی است و لازم است در مدار فلوتاسیون از کانی‌های بالرزش جدا شود.

۱-۲- کانی‌های مهم مس

بیش از ۲۰۰ کانی در طبیعت حاوی عنصر مس هستند، اما تنها ۲۰ کانی به عنوان کانی مس دارای اهمیت هستند که مهم‌ترین آنها در جدول (۱-۱) ارائه شده است. کانی‌های اصلی مس به صورت سولفیدی (به صورت عمده کالکوپیریت، بورنیت، کالکوسیت) که همراه آنها پیریت، گالن و اسفالریت وجود دارند) هستند. کانی‌های ثانویه مس از هوازدگی کانی‌های سولفیدی در نزدیکی سطح زمین در دو زون تشکیل می‌شوند. در زون اول که زون اکسیداسیون است، به علت وجود اکسیژن محلول در آب کانی‌های تشکیل شده از نوع اکسیدها، سولفات‌ها، کربنات‌ها و سیلیکات‌ها هستند. در زون دوم که در عمق‌های بیشتر قرار دارد، کانی‌های سولفیدی ثانویه، کولیت، کالکوسیت و حتی مس خالص طبیعی بوجود می‌آید.

جدول (۱-۱): لیست کانی‌های اکسیدی اقتصادی مس

نوع	کانی	فرمول شیمیایی	مس محتوی (%Cu)	وزن مخصوص (SG)	رنگ	رمز رنگ پریده
فلز	مس طبیعی	Cu	100	8/94		قرمز رنگ پریده
کالکوپیریت	CuFeS ₂	34/63	4/1-4/3		زرد برنزی	
برنیت	Cu ₅ FeS ₄	63/31	4/9-5/3		قرمز مسی	
کالکوسیت	Cu ₂ S	79/85	5/5-5/8		سیاه خاکستری	
کولیت	Cus	66/46	4/68		روشن تا نیلی تیره	
کوپیریت	Cu ₂ O	88/8	۵/۹		قرمز آجری	
تنوریت	CuO	۸۰/+	۶/۵		سیاه	
مالاکیت	Cu ₂ (OH)CO ₃	۵۷/۴	۳/۹		سبز	
آزوئیت	Cu ₃ (OH) ₂ (CO ₃) ₂	۵۵/۳	۳/۷		آبی	
آنتریت	Cu ₃ (OH) ₂ SO ₄	۵۴/۰	۳/۹		سبز روشن	
کریزوکلا	CuO.SiO ₂	۱۰-۳۶	۲-۲/۴		آبی	

۱-۳- طبقه‌بندی کانسارهای مس

بر اساس ژنز و خاستگاه زمین‌شناسی، کانسارهای مس تقسیم بندی‌های مختلفی شده‌اند. اصلی‌ترین کانسارهای مس شامل کانسارهای مس پورفیری، استراتیفرم با سنگ میزبان رسوی^۱، سولفید توده‌ای و آتشفسانزاد^۲، اسکارنی، هستند. تقسیم‌بندی‌های فرعی و جزئی‌تر بر اساس فراوانی کانسارهای فرعی در مناطق مختلف ارائه شده است. در ایران کانسارهای مس که به تیپ مانتو^۳ شهرت دارند شناسایی شده‌اند که در این گزارش مورد توجه قرار گرفته و جداگانه به آن پرداخته شده است.

۱-۳-۱- کانسارهای مس پورفیری

مهم‌ترین کانسارهای از نوع نهشت‌های هیدروترمال، کانسارهای مس پورفیری هستند که در اطراف توده‌های نفوذی تغذیه‌کننده آتشفسان‌ها یافت می‌شوند. این نهشت‌ها متشکل از رگچه‌های متقطع یا استوک ورک، شامل کوارتر، کالکوپیریت و دیگر کانی‌ها هستند. در واقع هنگامی که محلول‌های ماگمایی نشأت گرفته از توده‌های نفوذی سرد و کریستاله می‌شوند. سنگ‌های محیط اطراف خود را خرد می‌کنند. فضای ایجاد شده محیط مناسبی برای نهشت کانسارهای مس است.

مهم‌ترین کانی مس در این کانسارهای کالکوپیریت است. اغلب دارای عیار پایین (کمتر از ۱ درصد) و ذخیره بالا (چند صد میلیون تن) هستند. این کانسارها می‌توانند حاوی مولیبدن، طلا و نقره باشند و غالباً محصول فرعی این کانسارها مولیبدن است. این کانسارها داری منطقه‌بندی هستند و دگرسانی این کانسارها از داخل به خارج شامل مناطق پتانسیک^۴، فیلیک^۵، آرژیلیک^۶ و پروپیلیتیک^۷ است.

۱-۳-۲- کانسارهای مس رسوی

این کانسارها در کنار کانسارهای مس سولفید توده‌ای و آتشفسانزاد بعد از مس پورفیری در درجه دوم اهمیت قرار دارند. این کانسارها را تیپ کوپرشیفر^۸ نیز نامگذاری کرده‌اند به آنها کانسارهای مس استراتیفرم با سنگ میزبان رسوی (به اختصار SCD) نیز می‌گویند. بیشتر این نهشت‌ها در محیط‌های دریابی یا دلتایی غیر آتشفسانی یافت می‌شوند. این از نظر زمان و مکان توزیع گسترده‌ای از پروتروزویک تا ترشیاری دارند و ذخیره آنها می‌تواند از ۱ تا ۱۰۰۰ میلیون تن کانسنگ باشد. از نظر شکل، عدسی مانند تا چینه‌سان و طول ذخایر دسته‌کم ده برابر عرض آنها است. مناطق تغذیه

¹ Sediment-Hosted Stratiform Copper Deposites

² Volcanic Massive Sulfide

³ Manto TypeCopper Deposite

⁴ Potassic Zone

⁵ Phyllitic Zone

⁶ Argillic Zone

⁷ Propylitic Zone

⁸ Kupferschiefer

کننده در زیر برخی از ذخایر شناسایی شده و ممکن است در زیر بسیاری دیگر نیز وجود داشته باشد. از ساحل به سمت حوضه رسوی دارای منطقه‌بندی ($\text{Cu}+\text{Ag}\rightarrow\text{Pb}\rightarrow\text{Zn}$) هستند. بیشتر کانسارهای اصلی در شیل‌های آهکی احیا شده پیریتی غنی از مواد آلی، یا هم‌ارز دگرگونی آنها یافت می‌شوند. این کانسارها می‌توانند دارای عیار بالایی از کبات، روی و نقره باشند، همچنین طلا، اورانیوم، عناصر گروه پلاتین و عناصر نادر خاکی را می‌توان به عنوان محصول فرعی در آنها یافت. حدود ۲۵ تا ۳۰ درصد مس تولیدی دنیا از این کانسارها تأمین می‌شود.

مهمنترین و فراوان‌ترین نهشته‌ها در سنگ‌های پروتروزووییک بالا و پالئوزووییک بالا قرار دارد که در نواحی خشک و نیمه خشک محیط‌های کافتی قاره‌ای، حداکثر تا عرض ۲۰ تا ۳۰ درجه تشکیل شده‌اند. از نظر اقتصادی هم ذخایر مس و هم ذخایر سرب و روی در مقیاس جهانی از اهمیت بالایی برخوردار هستند.

خاستگاه زمین‌شناسی این نهشته‌ها عمدتاً درون کراتونی^۱ است و به نظر نمی‌رسد با وقایع کوهزایی یا فعالیت‌های حاشیه صفحه‌ها در ارتباط باشد. خاستگاه ناحیه‌ای (۱) اولین پیشروی دریا بر روی رسوبات قاره‌ای (کوپفرشیفر، زامبیا، وایت‌پاین)، (۲) توالی کربناتی قاره‌ها (ایرلند) و (۳) حوضه‌های رسوی کنترل شده به وسیله گسل (حوضه سلوین، یوکن بلت-پرسل و بریتیش کلمبیا) هستند.

مهمنترین کانسارهای مس رسوی شناخته شده در ایران شامل موارد زیر هستند.

۱-۳-۲-۱- کانی‌سازی مس در گندلهای نمکی حوضه زاگرس

کانسار مس خونگاه در ۸۰ کیلومتری شمال باخته شهرستان یاسوج و در دامنه جنوبی کوه دنا قرار دارد. کانی‌سازی مس در دولومیت‌های قهوه‌ای سازند میلا قرار دارد. و به صورت رگچه‌های پرکننده حفرات و به صورت پراکنده در متن سنگ است. کانسار ده معدن در فاصله ۸۰ کیلومتری شمال باخته کانسار خونگاه در سنگ‌های آهکی و دولومیتی منسوب به سازند باروت قرار دارد.

- گند نمکی سیاتک: کانی‌سازی مس در شیل‌های قرمز واحدهای ماسه‌سنگی به صورت ملاکیت و کالکوسیت است

- کانسار مس خونگاه: کانی‌سازی به صورت ملاکیت کالکوپیریت، بورنیت، کالکوسیت و کولیت است. عیار میانگین کانسار ۲/۷ درصد مس و ۲۲۰ گرم در تن نقره دارد.

- کانسار مس دهمعدن: کانی‌سازی به صورت ملاکیت، کولیت، کریزوکلا و اولیزیست است. عیار نمونه برداشت شده توسط بازین و هوین (۱۹۶۹) ۵/۷ درصد مس، ۱۵/۰ درصد کبات و ۳۴/۰ درصد نیکل را نشان می‌دهد.

¹ Intracratic

۱-۳-۲-۲- کانی‌سازی در سازند زاگون

این نوع کانی‌سازی برای اولین بار در سازند زاگون، حوضه البرز مرکزی در ۵ کیلومتری باختر روستای کندلوس و در یک کیلومتری جنوب باختر روستای زانوس شناسایی شده است. یک افق ماسه‌سنگی مس‌دار به ضخامت ۰/۵ تا ۱ متر و به طول ۱۱۰۰ متر شناسایی شده است.

۱-۳-۲-۳- کانی‌سازی مس در سازند گردو (کرمان- طبس)

در این سازند در بخش میانی آن مس در یک یا دو واحد ماسه‌سنگی سبز- خاکستری روشن به ضخامت ۲ تا ۱۰ متر رخمنون دارد. کانه‌زایی به صورت مالاکیت و کالکوسیت است. در این منطقه کانسارهای مس گوجر، مس آغل‌سی و مارکشه در شما باختر شهر راور و کانسار مس چشم‌های سفید در شمال طبس و افق مس‌دار کال شور در جنوب معدن ذغال‌سنگ پرورده شناسایی شده است.

- کانسار مس گوجر: کانی‌سازی در مجموعه مارن و ماسه‌سنگ قرمز قاعده کرتاسه (سازند گردو) بصورت مالاکیت، همراه با نئوتوصیت و کالکوسیت و به مقدار کمتر کالکوپیریت و برنيت قرار دارد. ضخامت واحد کانه‌دار ۰/۵ تا ۱ متر و طول آن ۱۱۰۰ متر است. عیار مس بین ۲ تا ۴ درصد متغیر است.

- کانسار مس مارکشه: این کانسار در شمال غرب راور، در سازند گردو قرار دارد و کانی‌سازی به صورت مالاکیت، آزوریت و کالکوسیت بوده که با نئوتوصیت، بورنیت، تنوریت، کوپریت و کالکوپیریت نیز همراه است. این کانسار دارای عیار میانگین ۲ تا ۳ درصد و حدود ۲۰ گرم در تن نقره است.

- کانسار مس چشم‌های سفید: این کانسار در ۱۲۰ کیلومتری شمال شهرستان طبس واقع شده است. کانی‌سازی مس در سازند گردو به صورت مالاکیت و کالکوسیت قابل مشاهده است. ضخامت واحد کانه‌دار ۲ متر و عیار مس ۲/۵ تا ۳ درصد است.

- افق ماسه‌سنگی مس‌دار کال شور: این محدوده در ۵ کیلومتری جنوب معدن ذغال‌سنگ پرورده طبس قرار دارد. کانی‌سازی مس در سازند گردو و بصورت مالاکیت و کالکوسیت قابل مشاهده است. ضخامت افق کانه‌دار ۸ تا ۱۰ متر و میانگین عیار مس ۳/۵ درصد است.

- افق ماسه‌سنگ- کنگلومرای مس‌دار کرکوه سربالا: این کانسار در ۱۰ کیلومتری خاور روستای پشت بادام در ایران مرکزی قرار دارد. عیار مس ۵/۰ تا ۲/۵ درصد است.

- کانسار مس چونت: این کانسار در جنوب باختر شهر سبزوار در مجموعه شیل ماسه‌سنگ قرمز قرار دارد و کانی‌سازی مس بصورت مالاکیت و کالکوسیت در ضخامت ۰/۵ تا ۲ متر است.

۱-۳-۲-۴- کانی‌سازی مس در حوضه کپه‌داغ

در این زون کانی‌سازی در ارتباط با سازند آواری سوریجه است.

- کانسار مس آب‌گرم: این کانسار در ۵ کیلومتری جنوب خاور روستای آب گرم در ۷۵ کیلومتر شمال مشهد است. کانی‌سازی مس به صورت مالاکیت همراه با نئوتوصیت در واحد ماسه‌سنگ سبز- خاکستری

روشن بخش‌های زیرین سازند شوریجه قرار دارد. ضخامت افق کانه‌دار ۱/۵ تا ۵ متر و عیار مس بیش‌تر از ۱ درصد است.

- کانسار مس فجی: این کانسار در ۲۰ کیلومتری شمال تربت حیدریه واقع شده و کانی‌سازی شامل مالاکیت و کالکوسیت در یک واحد ماسه‌سنگ کنگلومرای سبز- خاکستری روشن قرار دارد. ضخامت افق کانه‌دار حدود ۳ متر و عیار میانگین حدود ۳ درصد است.

- کانسار مس نسر: این کانسار در ۲۵ کیلومتری خاور رباط‌سنگ در نزدیکی تربت حیدریه واقع شده است. کانی‌سازی مس به صورت مالاکیت در یک واحد ماسه‌سنگ کنگلومرا رخ داده است. ضخامت افق کانه‌دار حدود ۱ متر و عیار مس بین ۰/۵ تا ۲ درصد متغیر است.

- کانسار مس چشم‌کنان: این کانسار در جنوب غرب مرند قرار دارد. کانی‌سازی مس به صورت مالاکیت و کالکوسیت در ماسه‌سنگ قرار دارد. ضخامت افق کانه‌دار ۶ تا ۷ متر و عیار آن ۰/۶۵ درصد مس و ۱۰۰ گرم در تن نقره دارد.

- کانسار مس سرخه: این کانسار در دامنه شمالی ارتفاعات میشو قرار دارد. کانی‌سازی مس به صورت مالاکیت و کالکوسیت در ۵ افق ماسه‌سنگی الیگومیوسن قرار دارد. ضخامت افق کانه‌دار بین چند سانتی‌متر تا ۲۰ متر است و میانگین عیار مس آن ۳/۵ درصد با ۲۰ گرم در تن نقره است.

۱-۳-۳- کانسارهای مس سولفید توده‌ای و آتشفسان زاد^۱

این کانسارها از نظر ماهیت و مورفولوژی همساز با سنگ‌های میزبان آتشفسانی است. این ذخایر از منابع مهم فلزات پایه به شمار می‌روند. همراه این تیپ کانی‌زایی اغلب طلا و نقره به عنوان عناصر همراه گزارش شده است. رابطه تنگاتنگی بین این کانسارها و سنگ‌های آذرآواری وجود دارد و بسیاری از کانسارها بر روی محصولات انفعاری گنبدهای ریولیتی قرار دارد. این ذخایر معمولاً روی یک استوکورک که خود نیز ممکن است دارای عیار معدنی باشد، قرار می‌گیرد. استوکورک را می‌توان کanal تندیه‌کننده‌ای در نظر گرفت که سیال‌های کانه‌زا از راه آن نفوذ کرده و کانسار سولفید توده‌ای را بوجود آورده‌اند. همچنین این کانسارها به سیستم‌های گرمابی زبردیابی وابسته هستند و بیشتر همراه با سنگ‌های آتشفسانی و دیگر سنگ‌های رسوی از قبیل شیل یافت می‌شوند. بعضی در امتداد پشتنهای میان‌اقیانوسی و بعضی در حوضه‌های پشت قوسی در حال گسترش (تیپ قبرس) بعضی در جزایر قوسی یا حاشیه قاره‌ای (ژاپن) یافت می‌شوند.

از ویژگی‌های این کانسارها، همراهی بالای سولفیدهای آهن در قالب کانی‌های پیریت و پیروتیت است. این ذخایر اغلب توده‌های چینه‌سان، عدسی شکل یا ورقه مانند هستند که در همبrijی بین واحدهای آتشفسانی- رسوی، تشکیل می‌شوند.

^۱ Volcanic Massive Sulfide (VMS)

حجم ذخیره آنها عمدتاً کوچک و بین ۱/۰ تا ۱۰ میلیون تن است. پیریت، کالکوپیریت، اسفالریت و گالن، کانی‌های اصلی هستند. در صورتی که مقدار مگنتیت در این نهشته‌ها افزایش یابد به کانسنگ‌های اکسید توده‌ای مگنتیت یا هماتیت تبدیل می‌شوند. اغلب دارای منطقه بندی قائم هستند. گالن و اسفالریت در نیمه بالایی فراوان‌تر و مقدار کالکوپیریت به سمت پایین افزایش می‌یابد.

در قبرس حدود ۱۵ توده معدنی از این تیپ با ذخیره‌های تا ۲۰ میلیون تن شناخته شده است. عیار میانگین مس ۲/۵ درصد و سنگ میزبان آنها بازالت آلبیتیزه یا اسپیلت است.

در ایران کانسارهای زیادی از جمله برخی از کانسارهای مس منطقه کرمان به این گروه نسبت داده شده‌اند.

۱-۳-۴- کانسارهای مس اسکارنی

اسکارن به سنگی اطلاق می‌شود که از سیلیکات‌های کلسیم، منیزیم و آهن تشکیل شده است و در نتیجه جانشینی سیلیس، آلومینیوم، آهن و منیزیم در سنگ‌های آهکی ناخالص و دولومیت حاصل می‌شود و غالباً در اطراف توده‌های نفوذی واقع شده‌اند. این تیپ کانه‌زایی مس همراه با سنگ‌های اسکارنی است. اسکارن‌ها به دو گروه اسکارن‌های همراه با استوک‌های بی‌بر و اسکارن‌های همراه با استوک‌های مریوط به کانسارهای مس پورفیری تقسیم می‌شوند. اسکارن‌های همراه با استوک‌های بی‌بر، ۱ تا ۵۰ میلیون تن ذخیره کانسنگ (۲۵ تا ۱۲۰ هزار تن مس) دارند. در اسکارن‌های کلسیمی (سنگ‌های دیواره کلسیتی باشد)، حضور پیریت، کالکوپیریت و مگنتیت همراه با آندرادیت در نزدیکی توده و بورنیت- کالکوپیریت همراه با ولاستونیت بطرف مرمر، نشانده‌نده کاهش مقدار آهن به طرف خارج است. نهشت آندرادیت باعث کاهش نسبت مس/آهن در سیالو نتیجتاً نهشت بورنیت بجای کالکوپیریت می‌شود. در ایران کانسارهای اسکارنی مس همراه با کانسار پورفیری مس سونگون در آذربایجان گزارش شده است.

۱-۳-۵- کانسارهای مس تیپ مانتو

این کانسارها حاصل فرآیند جایگزینی گرمابی در آندزیت‌ها و گاهی ریولیت‌ها هستند و غالباً شکل هندسی تخت دارند و منطقه یا درون طبقات یا گدازه‌ها بوده و از نوع چینه کران^۱ محسوب می‌شوند. کانی‌سازی اصلی، کانی کالکوسیت است. کانی‌سازی دارای یک منطقه‌بندی از حاشیه یه سمت مرکز کانی‌سازی است و از پیریت در حاشیه به کالکوپیریت و در نهایت به کالکوسیت در مرکز زون میزرازیزه منتهی می‌شود. کالکوسیت و گاهی بورنیت کانی اصلی این ذخایر است. شناخته‌شده‌ترین کانسار این گروه در شیلی (بوئنا‌سپرانزا^۲) قرار دارد.

¹ Strata Bound

² Buenasperanza

از کانسارهای مانتو در ایران می‌توان به کانسارهای مس گلستان و وشنوه در استان قم، کانسارهای زون متالورژی عباس‌آباد- ترود شامل کانی‌سازی‌های مس در چغدرسر، دامن جلا معدن بزرگ، لب کال گورخان و معالی اشاره کرد. در این معادن کانی‌سازی مس به شکل کالکوسیت و مالاکیت دیده می‌شود اما فاقد انتظام ساختاری هستند. افق‌های کانه‌دار در بستر ۲۰ تا ۱۰۰ متر و معمولاً تا ۸ متر ضخامت دارند.

کانسار مس وشنوه: این کانسار در ۶۰ کیلومتری قم و در ۱/۵ کیلومتری جنوب روستای وشنوه واقع شده است. سنگ فراغیر گدازه‌ها و سنگ‌های پیروکلاستیک است. کانی‌سازی در قالب کانی کالکوسیت به شکل عدسی‌های پراکنده و رگچه‌های باریک در لایه‌های معینی از گدازه قرار دارد. گسله‌ها و شکستگی‌های اصلی باعث ترکم موضعی کانی‌سازی شده‌اند.

کانسار دهنۀ سیاه: این کانسار در مسیر جاده شوسه کاشمر- سبزوار و در حومه شهرستان کاشمر، در استان خراسان واقع شده است. سنگ فراغیر، آندزیت پورفیری است. کانی‌سازی مس در قالب کوپریت، مالاکیت و به مقدار کمتر بورنیت، کالکوسیت و کالکوپیریت رخ داده و عیار مس ۱ تا ۳ درصد است.

کانسار مس چغدرسر شمالی: این کانسار در استان سمنان و در حومه شهرستان شاهروド قرار دارد. سنگ فراغیر آندزیت و کنگلومرا است. کانی‌زایی به شکل مالاکیت و کالکوسیت به صورت عدسی‌هایی کوچک به طول ۱۰ تا ۲۰ متر و ضخامتی کمتر از متر رخ داده است.

کانسار مس چغدرسر جنوبی: سنگ فراغیر این کانسار آندزیت پیروکسن دار است. دگرسانی این محدوده بیشتر زتوییتی و کربناتی است. کانی‌زایی مس به صورت رگه و رگچه و آغشتگی در قالب کانی‌های کالکوپیریت، مالاکیت، بورنیت و کوپریت رخ داده است.

کانسار مس گورخان: بن کانسار در استان سمنان و در حومه شهرستان شاهروド قرار دارد. سنگ فراغیر آندزیت، تراکی آندزیت، آندزیت پورفیری است. کانی‌سازی در قالب کالکوسیت، مالاکیت، آزوریت، کریزوکلا، مگنتیت، هماتیت، لیموئیت رخ داده است باطله کلسیت است.

کانسار مس دامن‌جلا: بن کانسار در استان سمنان و در حومه شهرستان شاهروド قرار دارد. سنگ فراغیر آندزیت‌های پلازیوکلازدار و اوژیت‌دار است. کانی‌سازی در قالب کالکوسیت، کالکوپیریت، بورنیت، مالاکیت، آزوریت، کولیت، پیریت، مگنتیت و هماتیتی به شکل رگچه‌ای و آغشتگی رخ داده و عیار ماده معدنی ۱ تا ۱/۵ درصد است.

فصل ۲

آماده‌سازی، شناسایی و خواص سنجی

آماده‌سازی، شناسایی و خواص سنجی

۱-۲- آشنایی

در راستای این پروژه، درخواست شرکت‌های معدنی به سازمان برای ارزیابی قابلیت فرآوری کانسنگ‌ها مورد غربال قرار گرفت و پروژه‌های مرتبط و در راستای اهداف و پروژه‌های مدیریت فرآوری گزینش شد. یک از این پروژه‌ها در ارتباط با فرآوری کانسنگ مس منطقه کرمان با منشاء سولفید توده‌ای بود که قبلاً توسط بخش خصوصی مورد مطالعه فرآوری قرار گرفته بود ولی به دلیل حجم بالای پیریت در کانسنگ، دستیابی به کنسانتره مس با عیار بالای ۲۰ درصد ممکن نشده بود. بنابراین همراه با درخواست شرکت به معاونت اکتشاف، دو نمونه کانسنگ تحويلی مدیریت فرآوری شد. کانسنگ اول که بخش عمده کانی‌سازی مس در آن، را سولفیدهای مس تشکیل می‌دادند و کانسنگ دوم که حدود ۳۵ درصد آن را کانی‌های اکسیدی تشکیل می‌داد و تحت هوازدگی بیشتری قرار گرفته بود.

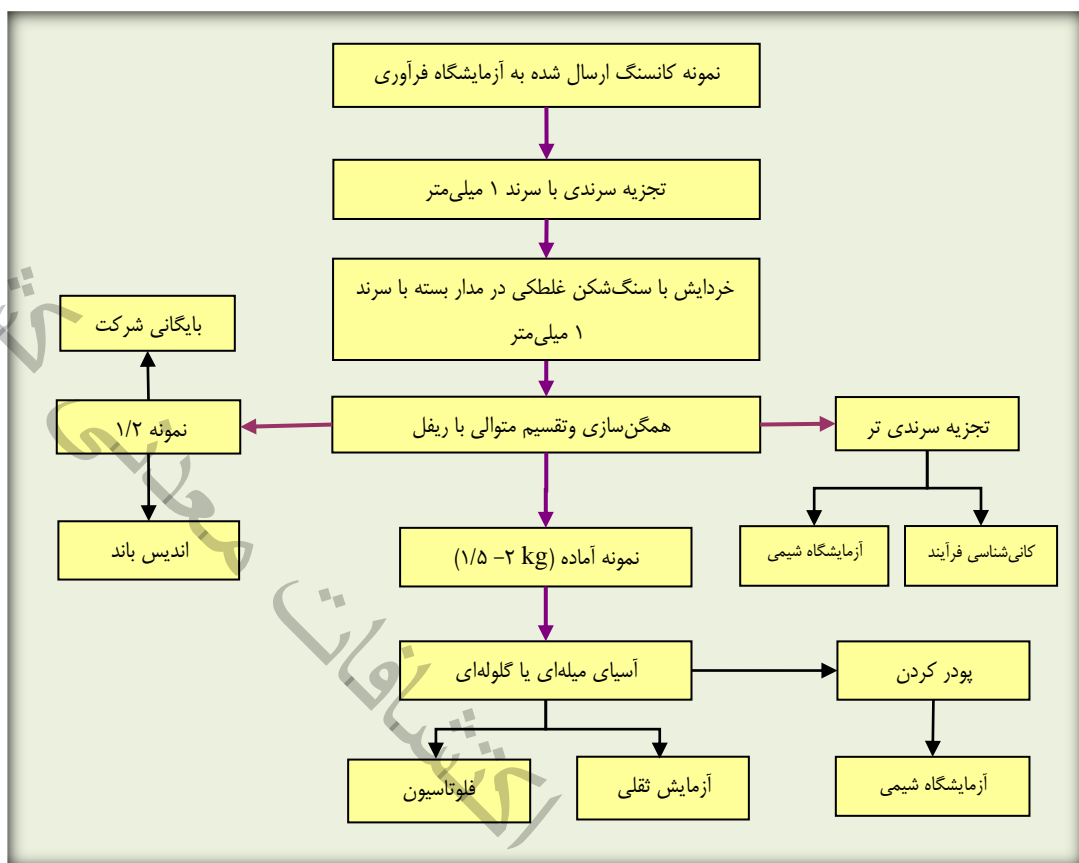
۲- آماده‌سازی نمونه

نمونه کانسنگ‌ها شامل مغزه‌های حفاری و حفاری RC بوده که چون قبلاً مطالات فرآوری توسط بخش خصوصی انجام شده بود و باقیمانده نمونه به سازمان ارجاع شده بود، بنابراین دانه‌بندی نمونه‌ها تحويلی حدوداً ۹۰ درصد ابعاد ریزتر از ۳ میلی‌متر بود. تصویر آماده‌سازی نمونه‌ها تحويلی شده در شکل (۱-۱) ارائه شده است. نمونه‌ها برای استفاده در سلول فلوتاسیون باید با آسیای گلوله‌ای خردایش شود. بهترین خوراک آسیای گلوله‌ای آزمایشگاهی محصول ریزتر از ۱۸ مش (۱ میلی‌متر) است. بنابراین ابتدا هر دو نمونه توسط سرند ۱ میلی‌متر سرند شد و بخش درشت‌تر در مدار بسته با سنگ شکن غلطکی تا ۱ میلی‌متر خردایش شد و سپس همگن‌سازی و توسط مقسم شانه‌ای در تقسیمات متوالی به زیربخش‌های $1/5$ کیلوگرمی تقسیم شد. زیرنمونه‌های کوچک‌تر برای اخذ نمونه‌های معرف جهت ارسال به آزمایشگاه شیمی و کانی‌شناسی مطابق شکل (۱-۲) انجام شد.



شکل (۱-۲): تصویری از آماده‌سازی نمونه

فلوچارت شکل (۲-۲) مراحل آماده‌سازی و نمونه‌گیری از نمونه اولیه را نشان می‌دهد.



شکل(۲-۲): فلوچارت روش آماده‌سازی، نمونه‌گیری و تهیه جزء نمونه‌های معرف برای اهداف مختلف

۳-۲- شناسایی کانسنگ

در این کانسنگ‌ها، هدف از شناسایی، شناخت کانی‌های مس، کانی‌ها و عناصر مضر و مفید از دیدگاه فرآیند و میزان درگیری آنها با دیگر کانی‌ها و با باطله‌های کانسنگ است.

۳-۱- آنالیز طلا

نمونه‌های معرف تهیه شده از دو کانسنگ برای آنالیز طلا به روش Fireassay ارسال شد. نتایج نشان می‌دهد عیار طلا به ترتیب در کانسنگ‌های یک و دو، ۹۲ و ۱۵۱ میلی‌گرم در تن است.

۲-۳-۲- آنالیز ICP کانسنگ

آنالیز عناصر فرعی موجود در کانسنگ‌های اول و دوم (ICP-OES) در جداول (۱-۲) و (۲-۲) ارائه شده است. در صورتی که در طلا با کانی‌های مس همبستگی داشته باشد، در کنسانتره تغليظ شده و می‌تواند به ارزش کنسانتره بیافزاید.

جدول (۱-۲) و (۲-۲) نشان می‌دهد، عیار هیچ کدام از عناصر فرعی مهم (نقره، نیکل و غیره) در دو کانسنگ قابل توجه نیست.

جدول (۱-۲): آنالیز ICP کانسنگ اول

ردیف	عنصر	عيار (ppm)	ردیف	عنصر	عيار (ppm)
۱	Ag	۲/۴	۱۴	Mn	۱۴۲۶
۲	Al	۶۸۱۷۱	۱۵	Mo	۳/۶
۳	As	۲۶۰/۸	۱۶	Ni	۳۵
۴	Ca	۶۹۳۷	۱۷	P	۱۲۱۵
۵	Cd	۲/۲۶	۱۸	Pb	۲۴۱
۶	Ce	۱۲	۱۹	S	>۳%
۷	Co	۹۶	۲۰	Sb	۲/۲۱
۸	Cr	۵۱	۲۱	Sc	۱۹/۴
۹	Cu	۷۵۹۱	۲۲	Th	<۵
۱۰	Fe	۹۲۱۷۷	۲۳	V	۱۸۰
۱۱	La	۸	۲۴	Y	۱۱
۱۲	Li	۱۱	۲۵	Yb	۱/۴
۱۳	Mg	۱۷۲۶۳	۲۶	Zn	۱۶۰۰

جدول (۲-۲): آنالیز ICP کانسنگ دوم

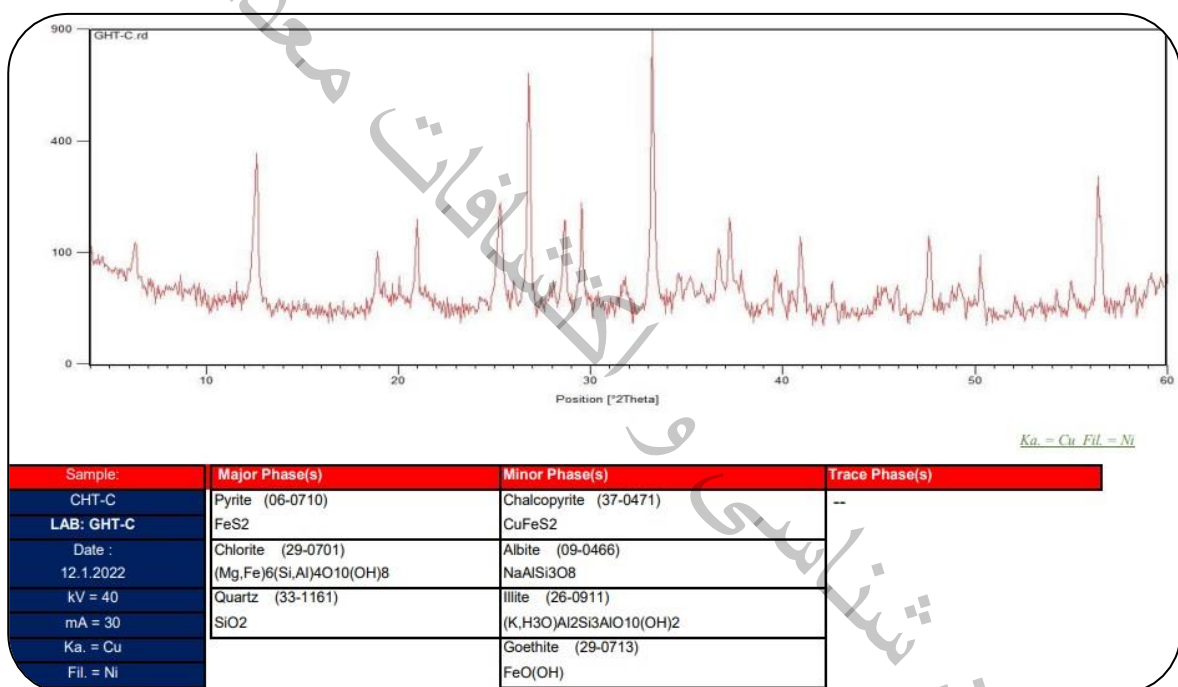
ردیف	عنصر	عيار (ppm)	ردیف	عنصر	عيار (ppm)
۱	Ag	۱/۷	۱۴	Mn	۳۴۰۳
۲	Al	۶۸۲۹۰	۱۵	Mo	۸/۶
۳	As	۱۵۸/۳	۱۶	Ni	۷۲
۴	Ca	۷۶۱۱	۱۷	P	۲۱۹۰
۵	Cd	۱/۳۴	۱۸	Pb	۲۲۱
۶	Ce	۲۱	۱۹	S	>۳%
۷	Co	۵۷	۲۰	Sb	۲/۰۵
۸	Cr	۶۸	۲۱	Sc	۱۸
۹	Cu	۶۳۶	۲۲	Th	<۵
۱۰	Fe	۸۹۲۷۴	۲۳	V	۲۷۷
۱۱	La	۱۶	۲۴	Y	۱۸
۱۲	Li	۱۰	۲۵	Yb	۱/۸
۱۳	Mg	۱۳۴۸۷	۲۶	Zn	۶۹۹

۳-۳-۲- پر عیار سازی ثقلی و مطالعات کانی شناسی

با هدف شناخت کانی های ارزشمند در دو کانسنگ اول و دوم به تفکیک زیر نمونه های ۳ کیلوگرمی (ریزتر از ۱ میلی متر) توسط میز لرزان به صورت ثقلی پر عیار گردید و کنسانتره حاصل به آزمایشگاه XRD ارسال شد. همچنین از نمونه های کنسانتره مقاطع صیقلی برای مطالعات کانی شناسی تهیه و مطالعه شد.

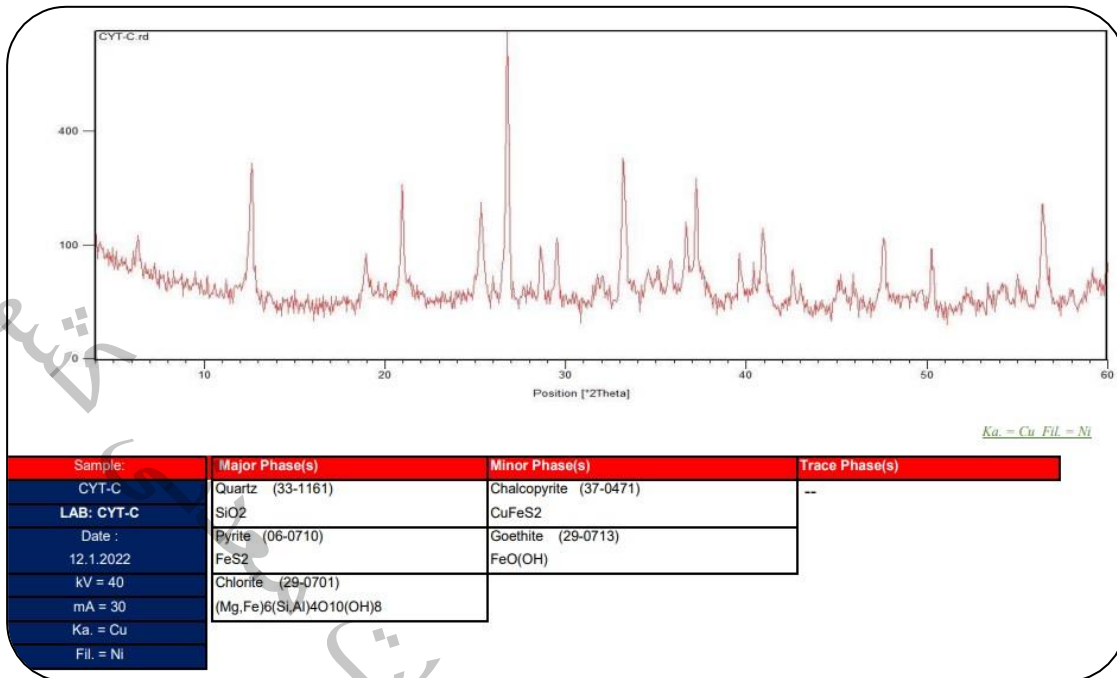
۳-۳-۱- آنالیز های XRD

آنالیز های انجام شده روی کانسنگ اول و دوم به ترتیب در شکل های (۳-۲) و (۴-۲) مشاهده می شود. در آنالیز انجام شده، فازهای اصلی کانسنگ اول، پیریت، کلریت و کوارتز و فازهای فرعی شامل کالکوپیریت، آلبیت، ایلیت و گوتیت شناسایی شده اند.



شکل (۳-۲): آنالیز XRD کنسانتره ثقلی کانسنگ اول

در آنالیز انجام شده، فازهای اصلی کانسنگ دوم نیز کوارتز، پیریت، کلریت و فازهای فرعی شامل کالکوپیریت و گوتیت شناسایی شده اند.



شکل(۴-۲): آنالیز XRD کنسانتره ثقلی کانسنگ دوم

۲-۳-۳-۲- مطالعات کانی‌شناسی

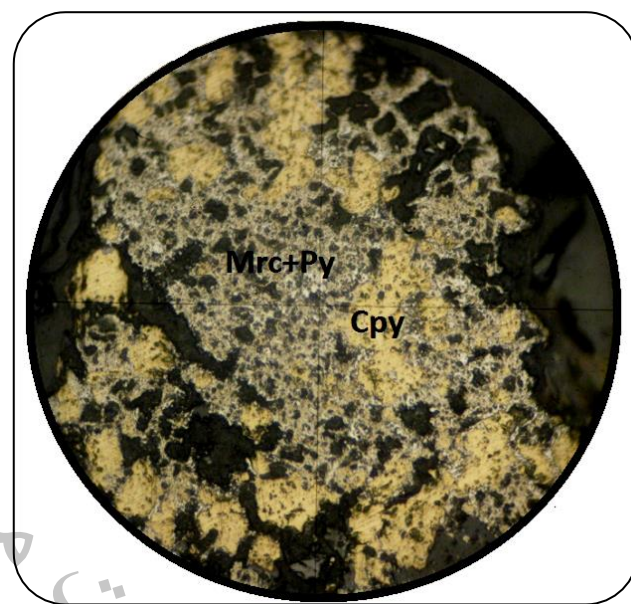
کنسانتره ثقلی کانسنگ اول

در این نمونه پیریت و مارکاسیت کانی‌های شاخص و فراوان‌ترین فازهای این مقطع محسوب می‌شود (شکل (۲-۵)). کانی اولیه مس کالکوپیریت است. درگیری کانی‌های مس اندک و عمده‌تاً با کانی‌های سولفیدی پیریت-مارکاسیت و به مقدار کم با گانگ غیر فلزی است. بیش از ۷۵ درصد از کانی‌های مس دار آزاد هستند. پیریت در دانه‌های درگیر در ابعاد ۱۰ تا ۳۰ میکرون از اجزاء متداول متن کانی کالکوپیریت و محصول دگرسانی آن یعنی کالکوسیت است. (شکل (۲-۶) و (۷-۲)). دگرسانی کالکوپیریت به کالکوسیت سبب شده که مانند نمونه قبل بافت‌های جزیره‌هایی (های (۲-۶) و (۷-۲)) باشد. به طوری که در بسیاری از دانه‌ها پدیده بافت‌های جزیره‌های باقیمانده کالکوپیریت در متن کالکوسیت بسیار باشد. به طوری که در بسیاری از دانه‌ها پدیده بافت‌های جزیره‌های متداول است.

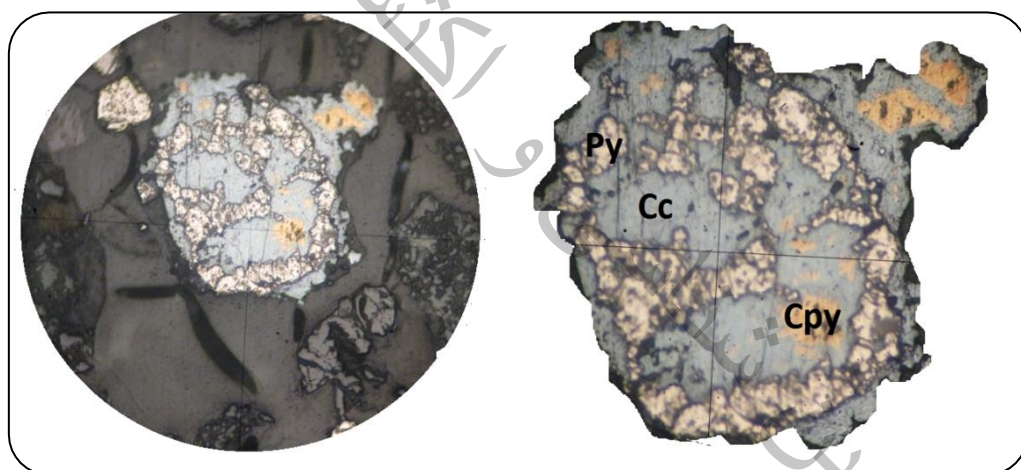
ابعاد کالکوپیریت و یا کالکوسیت در این نمونه بسیار ریز و در محدوده کمتر از ۱۰ میکرون تا ۲۵۰ میکرون تغییر می‌کند. از دیدگاه آماری بیش از ۸۰ درصد ابعاد دانه‌ها کمتر از ۱۰۰ میکرون است.

کانی‌های مهم این کانسنگ، کالکوپیریت، پیریت، مارکاسیت، کالکوسیت، کوولیت، اکسیدها و هیدروکسیدهای آهن عمده‌تاً گوتیت و گاهی هماتیت ورقه ای (الیژیست)، و بندرت مس خالص^۱ (native) است.

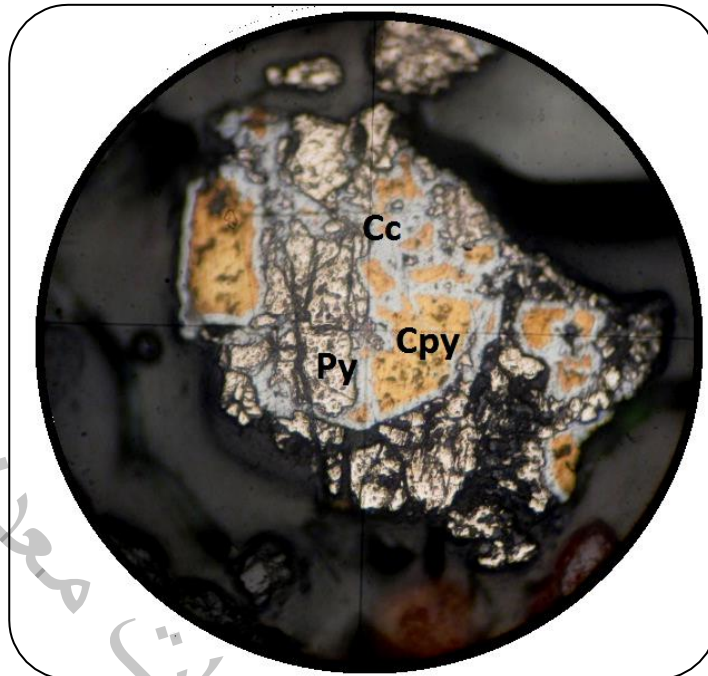
^۱ Native Copper



شکل(۵-۲): نمایی از همرشدی فازهای سولفیدی گالکوپیریت مارکاسیت-پیریت. قطر میدان دید $500\text{ }\mu\text{m}$ است



شکل(۶-۲): نمایی از درگیری میکرونی پیریت (Py) با کانی های مس که در آن گالکوپیریت (Cpy) با بافت باقیمانده در متن کالکوسیت (Cc) قرار دارد. قطر میدان دید $500\text{ }\mu\text{m}$ است.

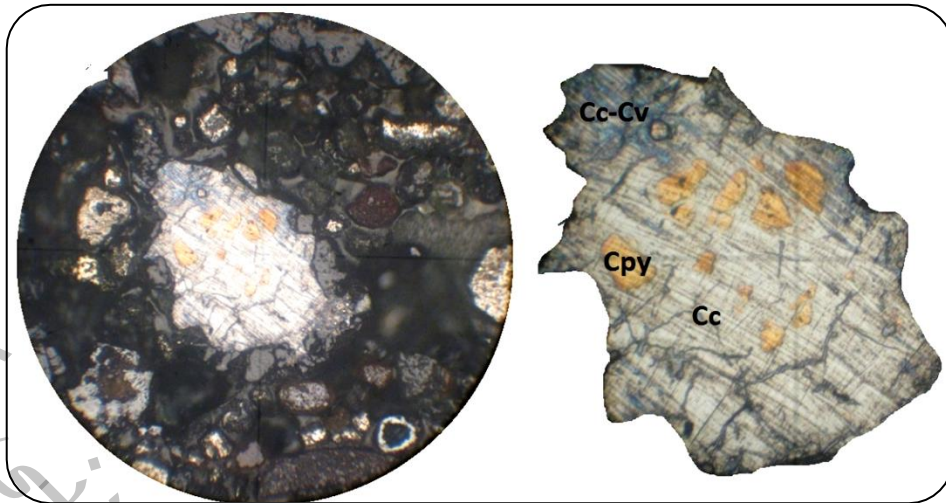


شکل(۷-۲): نمایی از درگیری کانی های مس با پیریت (Py) که در آن کالکوپیریت (Cpy) به کالکوسیت (Cc) دگرسان شده و با بافت باقیمانده آثار آن در متن کانی ثانویه محفوظ مانده است. پیریت قازی پایدار و مصنون از این دگرسانی بوده است. قطر میدان دید ۵۰۰ میکرون می باشد.

کنسانتره ثقلی کانسنگ دوم

پیریت و مارکاسیت کانی های شاخص و فراوان ترین فازهای سولفیدی هستند. کانی اولیه مس در این کانسنگ کالکوپیریت بوده است. دانه های مس دار در این محصول اغلب بدون درگیری با پیریت و یا کانی های غیرفلزی است. و بیش از ۹۰ درصد از کانی های مس آزاد هستند. دانه های درگیری اغلب با پیریت و یا مارکاسیت درگیر هستند. در دانه های کم عیار، کالکوپیریت بخش ناچیزی از یک دانه را تشکیل می دهد. در متن بسیاری از دانه های درشت کالکوپیریت و یا کالکوسیت، پیریت در ابعاد بسیار ریز و پراکنده در متن این کانی ها قابل مشاهده است. ابعاد دانه های کالکوپیریت و کالکوسیت - کوولیت در محدوده کمتر از ۱۰ میکرون تا ۱۵۰ میکرون و بندرت از ۴۰ میکرون تجاوز می کند. بیش از ۸۵ درصد از دانه هایی که فقط از کالکوپیریت و بدون دگرسانی به کالکوسیت-کوولیت، تشکیل شده است (کالکوپیریت های آلتہ نشده)، ابعادی کمتر از ۱۰۰ میکرون دارند. فقط ۵ درصد از دانه های کالکوپیریت، ابعادی بیش از ۱۵۰ میکرون دارد.

بسیاری از دانه های کالکوپیریت به کالکوسیت و به مقدار کمتر به کوولیت دگرسانی نشان می دهد. در بعضی از دانه ها تقریباً تمام کالکوپیریت به کالکوسیت تبدیل شده و کالکوپیریت به صورت جزایری کوچک با بافت باقیمانده در متن کالکوسیت دیده می شود. ۸۰ درصد دانه های دگرسان که از کالکوسیت و یا کالکوسیت-کالکوپیریت تشکیل شده ابعادی کمتر از ۱۰۰ میکرون دارد. بنابراین در مجموع بیش از ۸۰ درصد از دانه هایی که از فازهای مس کالکوپیریت و یا کالکوپیریت-کالکوسیت تشکیل شده اند، ابعادی کمتر از ۱۰۰ میکرون دارد.



شکل (۸-۲): نمایی از بافت جزیره‌ای یا باقیمانده کالکوپیریت (Cpy) در متن کالکوسیت (Cc) و کوولیت (Cv) در یک دانه آزاد کانه دار. قطر میدان دید ۵۰۰ میکرون است.

کانی‌ای مهم این کانسنگ کالکوپیریت، پیریت، مارکاسیت، کالکوسیت، اکسیدها و هیدروکسیدهای آهن عمده‌تا گوتیت و گاهی هماتیت ورقه‌ای (الیثیست)، و بندرت مس خالص (native) است.

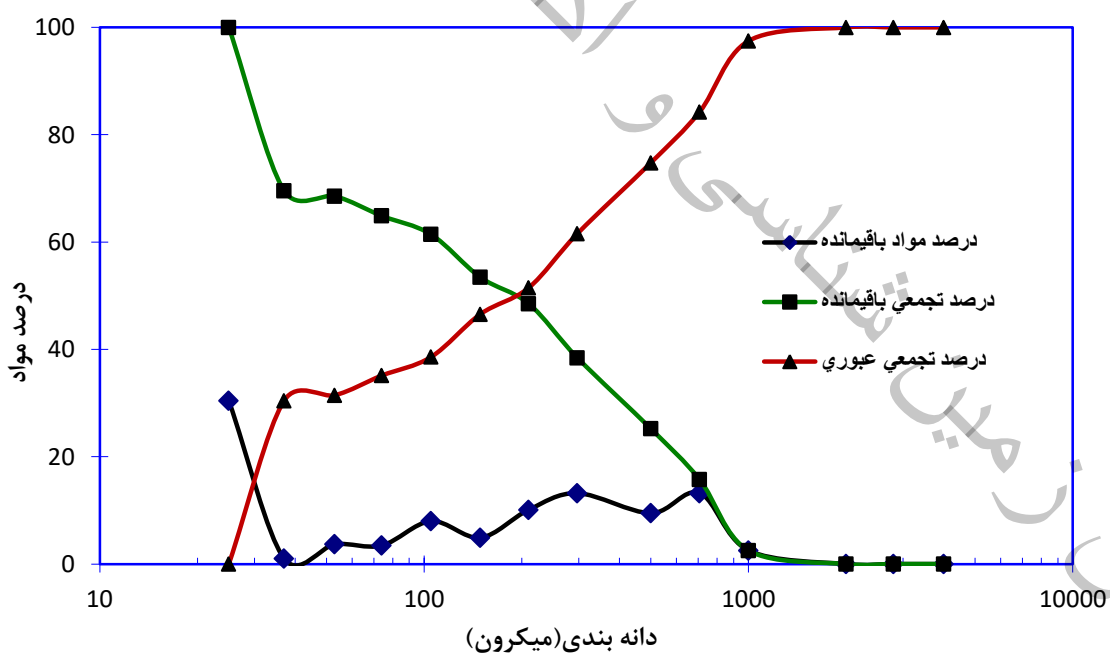
۳-۴-۴- تجزیه سرندي، رابطه توزيع مس با دانه‌بندی

آنالیز دانه‌بندی، عیار و توزیع مس در دانه‌بندی‌های مختلف برای دو کانسنگ در جداول (۳-۲) و (۴-۲) ارائه شده است. در کانسنگ اول مشاهده می‌شود که $97/7$ درصد وزنی نمونه ریزتر از ۱ میلی‌متر و $84/3$ درصد آن ریزتر از ۷۰۷ میکرون است. همچنین 30 درصد وزنی نمونه ریزتر از 37 میکرون است. با توجه با این که بخشی از نمونه از حفاری RC تهیه شده، نمی‌توان با قطعیت آن را به هوازدگی و قابلیت تولید نرمه بالا در نمونه نسبت داد. همچنین عیار مس در نرمه بیش از 2 درصد و بیشینه است. در دانه‌بندی 200 تا 500 میکرون نیز عیار مس افزایش یافته که می‌تواند شاخصی از توزیع ابعادی کانی‌های مس دار در این دامنه ابعادی باشد.

در کانسنگ دوم مشاهده می‌شود که $99/1$ درصد وزنی نمونه ریزتر از ۱ میلی‌متر و $83/6$ درصد آن ریزتر از 500 میکرون است. همچنین 52 درصد وزنی نمونه ریزتر از 37 میکرون است. این مقدار نرمه بسیار زیاد است و با توجه به این که عیار این بخش بیش از 3 درصد است و نزدیک به 37 درصد مس نمونه در این محدوده واقع شده است، می‌تواند انتظار داشت افت مس در کنسانتره فلوتاسیون داشته باشیم. همچنین در ناحیه 297 تا 500 میکرون یک پیک عیاری را داریم که می‌تواند شاخصی برای ابعاد برخی کانی‌های مس باشد.

جدول (۲-۳): تجزیه سرندي، توزيع دانه‌بندی و عياری مس در بخش‌های مختلف کانسنگ اول

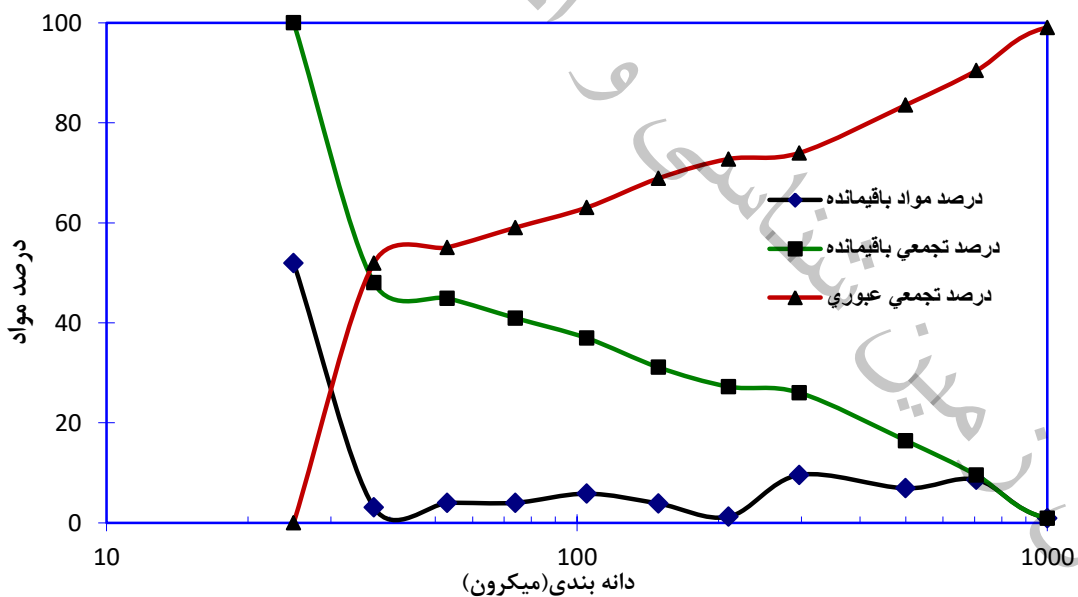
ردیف	شماره سرند ASTM (مش)	دهانه (میکرون)	وزن (گرم)	درصد وزنی باقیمانده	درصد وزنی تجمعی باقیمانده	درصد وزنی تجمعی عبورکرده	عيار مس (درصد)	محتوی مس (گرم)	توزيع مس
۱	۱۸	۱۰۰۰	۳۷/۵	۲/۵	۲/۵	۹۷/۵	۰/۵	۰/۲	۱/۷
۲	۲۵	۷۰۷	۱۹۵/۵	۱۳/۲	۱۵/۷	۸۴/۳	۰/۶۲	۱/۲	۱۰/۸
۳	۳۵	۵۰۰	۱۴۰/۳	۹/۵	۲۵/۲	۷۴/۸	۰/۷۰	۱/۰	۸/۷
۴	۵۰	۲۹۷	۱۹۵/۳	۱۳/۲	۳۸/۴	۶۱/۶	۰/۹۱	۱/۸	۱۵/۸
۵	۷۰	۲۱۰	۱۴۹/۶	۱۰/۱	۴۸/۵	۵۱/۵	۱/۱۰	۱/۷	۱۵/۳
۶	۱۰۰	۱۴۹	۷۲/۷	۴/۹	۵۳/۴	۴۶/۶	۱/۱۸	۰/۹	۷/۶
۷	۱۴۰	۱۰۶	۱۱۸/۲	۸/۰	۶۱/۴	۳۸/۶	۱/۱۹	۱/۴	۱۲/۵
۸	۲۰۰	۷۴	۵۱/۱	۳/۵	۶۴/۹	۳۵/۱	۰/۹۸	۰/۵	۴/۵
۹	۲۷۰	۵۳	۵۴/۳	۳/۷	۶۸/۶	۳۱/۴	۰/۷۸	۰/۴	۳/۸
۱۰	۴۰۰	۳۷	۱۵/۲	۱/۰	۶۹/۶	۳۰/۴	۰/۶۱	۰/۱	۰/۸
۱۱	-۴۰۰	۱۰	۴۵۰/۲	۳۰/۴	۱۰۰/۰	۰	۰/۴۶	۲/۱	۱۸/۴
مجموع									
۱۰۰									



شکل (۹-۲): توزیع دانه‌بندی کانسنگ اول

جدول(۲-۴): تجزیه سرندی، توزیع دانه‌بندی و عباری مس در بخش‌های مختلف کانسنگ دوم

ردیف	شماره سرند ASTM (مش)	دهانه (میکرون)	وزن (گرم)	درصد وزنی باقیمانده	درصد وزنی تجمعی باقیمانده	درصد وزنی تجمعی عبور کرده	عيار مس (درصد)	محتوی مس (گرم)	توزیع مس
۱	۱۸	۱۰۰۰	۱۲/۸	۰/۹	۰/۹	۹۹/۱	۰/۵	۰/۱	۰/۷
۲	۲۵	۷۰۷	۱۱۷/۸	۸/۶	۹/۵	۹۰/۵	۰/۶	۰/۷	۸/۲
۳	۳۵	۵۰۰	۹۴/۵	۶/۹	۱۶/۴	۸۳/۶	۰/۷	۰/۷	۷/۴
۴	۵۰	۲۹۷	۱۳۱/۲	۹/۶	۲۶/۰	۷۴/۰	۰/۹	۱/۲	۱۳/۴
۵	۷۰	۲۱۰	۱۶/۷	۱/۲	۲۷/۲	۷۲/۸	۱/۲	۰/۲	۲/۲
۶	۱۰۰	۱۴۹	۵۲/۹	۳/۹	۳۱/۱	۶۸/۹	۱/۲	۰/۶	۷/۰
۷	۱۴۰	۱۰۶	۷۹/۸	۵/۸	۳۶/۹	۶۳/۱	۱/۲	۰/۹	۱۰/۷
۸	۲۰۰	۷۴	۵۵/۰	۴/۰	۴۱/۰	۵۹/۰	۱/۰	۰/۵	۶/۱
۹	۲۷۰	۵۳	۵۴/۴	۴/۰	۴۴/۹	۵۵/۱	۰/۸	۰/۴	۴/۸
۱۰	۴۰۰	۳۷	۴۲/۶	۳/۱	۴۸/۰	۵۲/۰	۰/۶	۰/۳	۲/۹
۱۱	-۴۰۰	۱۰	۷۱۱/۳	۱۰۰	۱۰۰	۰	۰/۵	۳/۳	۳۶/۷
مجموع									



شکل(۱۰-۲): توزیع دانه‌بندی کانسنگ دوم

۳-۵-۳-۵- مطالعات قابلیت خردایش کانسنگ

این مطالعات شامل تعیین ان迪س باند گلوله‌ای بخش‌های مختلف کانسار است.

۳-۲-۱-۵-۱- اندیس باند گلوله‌ای نمونه GHRZ2

اندیس باند گلوله‌ای کانسنگ در آسیا استاندار باند انجام شد و اندیس باند برای ۳ نمونه از نقاط مختلف کانسار به ترتیب ۱۵/۳۸، ۱۳/۰۷ و ۱۳/۳۱ کیلووات ساعت بر تن کوچک بدست آمد. محاسبات تعیین اندیس باند در جداول (۵-۲)، (۶-۲) و (۷-۲) ارائه شده است.

جدول(۵-۲): محاسبات اندیس باند گلوله‌ای نمونه اول

جدول محاسبات اندیس کار باند گلوله‌ای									
نوع/ کد ماده معدنی:									
نگالی ظاهري:									
میزان خردابیش اولیه(میکرون):									
اندیس باند اولیه(مطالعات قبلی):									
پیش بینی قابلیت خردابیش(g/min)									
کانسنگ مس ۱	وزن ۷۰۰ سی سی از بار اولیه(گرم)	سرعت گردش آسیا(دور بر دقیقه)	1575	وزن ۷۰۰ سی سی از بار اولیه(گرم)	وزن ۷۰۰ سی سی از بار اولیه(گرم)	دهنه سرنگ کنترل(میکرون):	2.25	نگالی ظاهري:	
دزدی مواد کوچکتر از سرنگ کنترل بار اولیه	وزن ۲۰۵	وزن مخصوص ایده آل برای بار در	105	وزن ۲۰۵	وزن ۲۰۵	وزن ۲۰۵	3350	میزان خردابیش اولیه(میکرون):	
اندیس باند اولیه(مطالعات قبلی)	وزن ۲۰۴۰.۹	گردش ۲۵۰ درصد(گرم)	16.3	وزن ۲۰۴۰.۹	وزن ۲۰۴۰.۹	وزن ۲۰۴۰.۹	60.8	اندیس باند اولیه(میکرون):	
تعداد دور اولیه پیش بینی شده	وزن ۱۰۰	وزن مخصوص(میکرون)	d80	وزن ۱۰۰	وزن ۱۰۰	وزن ۱۰۰	100	پیش بینی قابلیت خردابیش(g/min)	
خوارک جدید وارد شده به آسیا	وزن	محصول خرد شده	نرمه تولید شده در اثر آسیا	وزن	وزن	وزن	وزن	تعداد دور گردش آسیا	شماره آزمایش
زمان پیش بینی شده(دقیقه)	تعداد دور پیش بینی شده	وزن ذوب برای بار گردش	وزن ذوب برای بار گردش	وزن ذوب برای بار گردش	وزن ذوب برای بار گردش	وزن مواد عبور کرده از سرنگ	وزن مواد باقیمانده روی سرنگ	وزن	شماره آزمایش
286.73	335	389.19	1.16	116.3	373.07	1201.93	256.7	1575	1
352.62	411	388.58	0.94	316.0	376.78	1198.22	60.8	373.07	2
362.23	423	379.73	0.90	369.7	431.08	1143.92	61.4	376.78	3
353.90	413	375.84	0.91	384.7	454.95	1120.05	70.3	431.08	4
350.70	409	376.06	0.92	379.5	453.64	1121.36	74.2	454.95	413
344.47	402	375.61	0.93	382.4	456.36	1118.64	73.9	453.64	5
		15.38	: (KWh/st)	اندیس باند	0.92				متوجه نرمه تولیدی به ازای یک دور:

جدول(۶-۲): محاسبات اندیس باند گلوله‌ای نمونه دوم

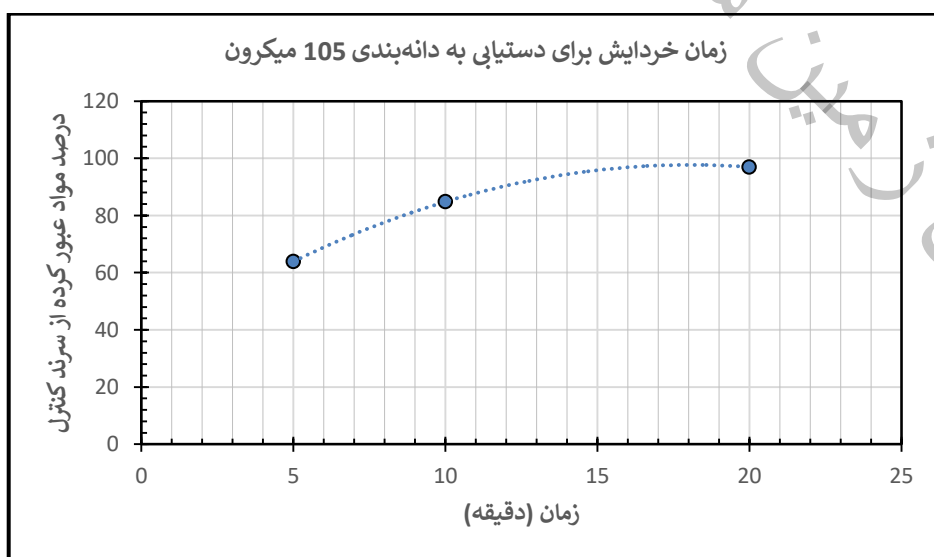
جدول محاسبات اندیس کار باند گلوله‌ای									
نوع ماده معدنی:									
نگالی ظاهري:									
میزان خردابیش اولیه(میکرون):									
اندیس باند اولیه(مطالعات قبلی):									
پیش بینی قابلیت خردابیش(g/min)									
کانسنگ مس ۲	وزن ۷۰۰ سی سی از بار اولیه(گرم)	سرعت گردش آسیا(دور بر دقیقه)	1430	وزن ۷۰۰ سی سی از بار اولیه(گرم)	وزن ۷۰۰ سی سی از بار اولیه(گرم)	دهنه سرنگ کنترل(میکرون):	2.04	نگالی ظاهري:	
دزدی مواد کوچکتر از سرنگ کنترل بار اولیه	وزن 106	وزن مخصوص ایده آل برای بار در	408.6	وزن 23.70	وزن 23.70	وزن 23.70	3350	میزان خردابیش اولیه(میکرون):	
اندیس باند اولیه(مطالعات قبلی)	وزن 1777.40	وزن d80	63.1	وزن 1777.40	وزن 1777.40	وزن 1777.40	63.1	اندیس باند اولیه(میکرون):	
تعداد دور اولیه پیش بینی شده	وزن 100	محصول خرد شده	نرمه تولید شده در اثر آسیا	وزن	وزن	وزن	وزن	پیش بینی قابلیت خردابیش(g/min)	
زمان پیش بینی شده(دقیقه)	تعداد دور پیش بینی شده	وزن ذوب برای بار گردش	وزن ذوب برای بار گردش	وزن ذوب برای بار گردش	وزن ذوب برای بار گردش	وزن مواد عبور کرده از سرنگ	وزن مواد باقیمانده روی سرنگ	وزن	شماره آزمایش
165.2	193	292.3	1.52	151.7	490.56	939.44	338.9	1430	1
231.1	270	325.8	1.21	232.9	349.21	1080.79	116.3	490.56	2
231.4	270	314.5	1.17	314.1	396.89	1033.11	82.8	349.21	3
227.2	265	311.2	1.17	316.9	410.96	1019.04	94.1	396.89	4
225.7	263	311.2	1.18	313.3	410.65	1019.35	97.4	410.96	5
	13.07	: (KWh/st)	اندیس باند	1.17					متوجه نرمه تولیدی به ازای یک دور:

جدول (۷-۲): محاسبات اندیس باند گلوله‌ای نمونه سوم

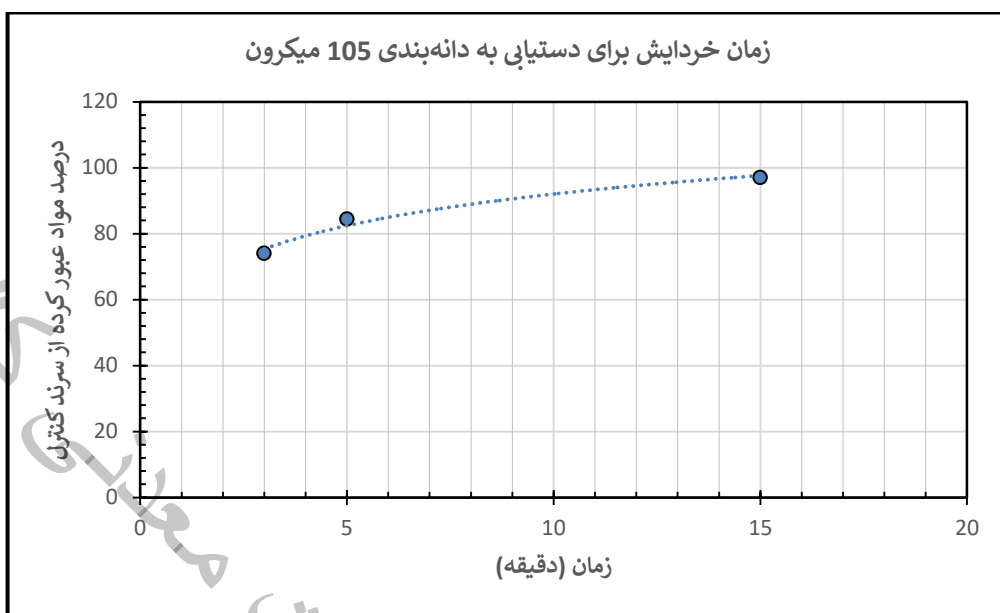
جدول محاسبات اندیس کار باند گلوله‌ای										
										نوع ماده معدنی:
										جگالی ظاهري:
70	سرعت گردش آسیا (دور بر دقیقه)	1520	وزن ۷۰۰ سی سی از بار اولیه (گرم)	کانسنگ مس ۳	2.17	دهانه سرند کنترل (میکرون):	434.3	وزن محصول ایده آل برای بار در	106	میزان خردایش اولیه (میکرون):
						درصد مواد کوچکتر از سرند کنترل بار اولیه (گرم)		گردش ۲۵۰ درصد (گرم)	26.00	اندیس باند اولیه (میکرون) (مطالعات قبلی)
55.8	d80 ممحصول (میکرون)	1867.10	d80 خوارک اولیه (میکرون)	100	تعداد دور اولیه پیش بینی شده	بیش بینی قابلیت خردایش (g/min)				
محاسبه آزمایش بعدی		نرمه تولید شده در اثر آسیا	محصول خرد شده	خوارک جدید وارد شده به آسیا						
زمان پیش بینی شده (دقیقه)		تعداد دور پیش بینی شده	وزن نرم تولید شده در گردن	وزن نرم تولید شده در دور	وزن مواد غیر مذکور که از سرند	وزن مواد باقیمانده ری سرند	وزن مواد کوچکتر از سرند	وزن	تعداد دور گردش آسیا	نمودارهای آزادی از
232.9	272	302.6	1.11	111.4	506.58	1013.42	395.2	1520	100	۱
268.4	313	326.4	1.04	283.2	414.9	1105.1	131.7	506.58	272	2
263.5	307	321.2	1.04	327.1	434.97	1085.03	107.9	414.9	313	3
267.5	312	322.3	1.03	317.6	430.68	1089.32	113.1	434.97	307	4
262.2	306	320.2	1.05	326.7	438.65	1081.35	112.0	430.68	312	5
266.5	311	322.7	1.04	317.4	429.36	1090.64	112.0	430.68	306	6
		13.31	: اندیس باند (KWh/st):	1.04	متوسط نرمه تولیدی به ازای یک دور:					

۲-۵-۳-۲- زمان خردایش تا رسیدن به دانه‌بندی ۱۴۰ مش

کانسنگ پس از خردایش تا ۱۸ مش (۱ میلی‌متر) می‌تواند به آسیای گلوله‌ای انتقال یابد. بدست آوردن زمان خردایش در آسیای گلوله‌ای جهت دستیابی به دانه‌بندی ۱۴۰ مش نیازمند خردایش نمونه در وزن و شرایط یکسان در زمان‌های مختلف است. شکل‌های (۱۱-۲) و (۱۲-۲) نشان می‌دهد زمان خردایش نمونه کانسنگ‌های اول و دوم برای دستیابی به دانه‌بندی‌های ۱۵۰ مش (d₈₀) به ترتیب ۶ و ۹ دقیقه است.



شکل (۱۱-۲): تعیین زمان خردایش کانسنگ اول برای دستیابی به دانه‌بندی ۱۴۰ مش در آسیای گلوله‌ای



شکل (۱۲-۲): تعیین زمان خردایش کانسنگ دوم برای دستیابی به دانه‌بندی ۱۴۰ مش در آسیای گلوله‌ای

۴-۴- نتایج مطالعات شناسایی نمونه

مطالعات کانی‌شناسی نشان می‌دهد، کانسنگ از نوع سولفید بالا است و پیریت و مارکاسیت فراوان‌ترین کانی‌سولفیدی کانسنگ است. کانی‌های اولیه مس در کانسنگ کالکوپیریت بوده است که بعضاً به کالکوسیت دگرسان شده است. بیش از ۸۰ درصد از کانی‌های مس در دانه‌بندی ۱۴۰ مش (۱۰۵ میکرون) آزاد هستند. دانه‌های درگیری اغلب با پیریت و یا مارکاسیت درگیر هستند. پیریت در دانه‌های درگیر در ابعاد ۱۰ تا ۳۰ میکرون از اجزاء متداول متن کانی کالکوپیریت و محصول دگرسانی آن یعنی کالکوسیت است. مس بصورت طبیعی نیز در نمونه وجود دارد. باطله اصلی کانسنگ کانی‌های سیلیکاته هستند. نرمه نمونه بویژه در کانسنگ دوم زیاد است. اندیس باند گلوله‌ای کانسنگ‌ها بین ۱۳ تا ۱۵ کیلووات ساعت بر تن کوچک است.

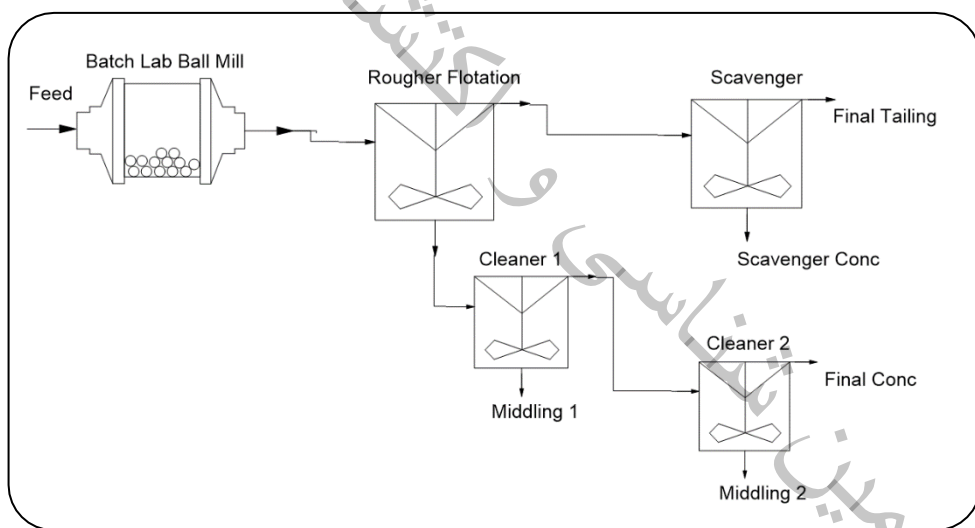
فصل ۳

مطالعات پر عیار سازی به رو ش فلو قاسیون

۱-۳- آزمایش‌های فلوتاسیون

بخش عمده مس موجود در کانسنگ اول از نوع سولفیدی و بویژه کالکوپیریت و کالکوسیت است. چالش مهم در این کانسنگ حضور پیریت است و جدایش آن از کانی‌های ارزشمند سولفیدی) همواره با چالش مواجه است و بازداشت و جدایش آن از کالکوپیریت و کالکوسیت و دیگر کانی‌های سولفیدی مس نیازمند تمهیدات ویژه است. در صورتی که نتوان به درستی پیریت را بازداشت کرد به کنسانتره راه می‌یابد و باعث می‌شود نتوان به عیار مس قابل قبول در کنسانتره دست یافت.

برای بررسی رفتار کانسنگ‌های اول و دوم، در مدار فلوتاسیون، نمونه‌های آماده شده این دو کانسنگ بصورت جداگانه مورد بررسی قرار گرفت و آزمایش‌های فلوتاسیون انجام شد. در این آزمایش‌ها از معرف‌های شیمیایی موجود یا قابل تأمین در بازار کشور استفاده شد. آزمایش‌های اولیه با هدف دستیابی به بیشینه بازیابی ممکن مس از کانسنگ (انتخاب کلکتور کارآمد) انجام شد. و آزمایش‌های بعدی با هدف افزایش عیار محصول و کاهش مقدار پیریت در کنسانتره (بازداشت پیریت) متمرکز شد. شمای کلی مدار انجام آزمایش‌ها در شکل (۱-۳) ارائه شده است.



شکل (۱-۳): شماتیک کلی آزمایش‌های فلوتاسیون

۱-۱-۳- آزمایش اول فلوتاسیون روی کانسنگ اول

در این آزمایش تأثیر کلکتور 238 Aero، بر بازیابی مس کانسنگ اول ارزیابی شد. در این آزمایش یک مرحله شستشو و یک مرحله رمک‌گیری انجام شد. شرایط عملیاتی در جدول (۱-۳) و نتایج در جدول (۲-۳) ارائه شده است.

جدول (۱-۳): شرایط عملیاتی آزمایش اول فلوتاسیون (کانسنگ اول)

۵۳				دانه‌بندی d80 (میکرون)
مرحله صرف معرفها	شستشو	رافر	آسیا	
سیلیکات سدیم (g/t)	-	۱۰۰۰	-	Aero 238
پتاسیم آمیل گزنتات (g/t)	-	30	-	
سدیم ایزوپروپیل گزنتات (g/t)	-	-	-	
سیانید سدیم (g/t)	۳۰	-	-	
pH	۱۱.۵	۱۱.۵	۱۱.۵	۷.۵
(g/t) MIBC	-	-	۴۰	-
زمان آماده‌سازی (دقیقه)	۳	۳	۳	-
زمان کف‌گیری (دقیقه)	۱۰	۱۰:۳۰	۱۰	-
سرعت روتور (RPM)	۱۰۰۰	۱۰۰۰	۱۰۰۰	-

جدول (۲-۳): محاسبات متالورژیکی مس آزمایش اول فلوتاسیون (کانسنگ اول)

محصولات	وزن گرم	درصد وزنی	عيار مس درصد	محتوی مس گرم	عيار تجمعی درصد	عيار درصد	بازیابی درصد
کنسانتره نهایی	73.2	4.9	3.69	2.70	24.2	3.69	24.2
باطله کلپر	265.9	17.7	1.39	3.70	33.0	1.89	57.2
اسکونجر	97.4	6.5	2.18	2.12	19.0	1.95	76.2
باطله فلوتاسیون	1066.2	71.0	0.25	2.67	23.8	0.74	100.0
هد محاسباتی	1502.7	100.0	0.74	11.19	100.0	100.0	100.0

مشاهده و بررسی‌های کیفی کنسانتره نهایی با استفاده از میکروسکوپ بینوکولار نشان داد مقدار زیادی پیریت به همراه کانی‌های مس در کنسانتره وجود دارد. نتایج جداول (۱-۳) و (۲-۳) نیز نشان میدهد، عیار محصول نهایی حدود ۳/۷ درصد است و نیاز به افزایش تعداد مراحل شستشو و روش مؤثری برای بازداشت پیریت است.

۳-۱-۲- آزمایش دوم فلوتاسیون (کانسنگ دوم)

در این آزمایش تأثیر کلکتور 238 Aero، بر بازیابی مس کانسنگ دوم ارزیابی شد. شرایط عملیاتی در جداول (۳) و نتایج در جدول (۴-۳) ارائه شده است.

جدول (۳-۳): شرایط عملیاتی آزمایش دوم فلوتاسیون (کانسنگ دوم)

۵۳				دانه‌بندی d80 (میکرون)
رقم گیر	شستشو	رافر	آسیا	مرحله صرف معرفها
-	-	۱۰۰۰	-	سیلیکات سدیم (g/t)
-	-	۳۰	-	Aero 238
۳۰	-	-	-	پتانسیم آمیل گزنتات (g/t)
-	-	-	-	سدیم ایزوپروپیل گزنتات (g/t)
-	-	-	-	سولفید سدیم (g/t)
-	۳۰	-	-	سیانید سدیم (g/t)
۱۱.۵	۱۱.۵	۱۱.۵	۷.۵	pH
-	-	۲۰	-	(g/t) MIBC
۳	۳	۳	-	زمان آماده‌سازی (دقیقه)
۱۰	۱:۳۰	۱۰	-	زمان کف‌گیری (دقیقه)
۱۰۰۰	۱۰۰۰	۱۰۰۰	-	سرعت روتور (RPM)

جدول (۴-۴): محاسبات متالورژیکی مس آزمایش دوم فلوتاسیون (کانسنگ دوم)

محصولات	وزن گرم	درصد وزنی	عيار مس درصد	محتوی مس گرم	عيار تجمعی درصد	بازیابی درصد	بازیابی تجمعی درصد
کنسانتره نهایی	30.6	2.1	4.64	1.42	16.3	4.64	16.3
باطله کلیز	93.0	6.4	2.24	2.08	23.9	2.83	40.3
اسکونجر	54.2	3.7	1.85	1.00	11.5	2.53	51.8
باطله فلوتاسیون	1271.0	87.7	0.33	4.19	48.2	0.60	100.0
هد محاسباتی	1448.8	100.0	0.60	8.70	100.0	0.60	

در کانسنگ دوم شرایط بازیابی مس به مرتب از کانسنگ اول بدتر است و عیار کنسانتره حدود ۴/۶ و بازیابی مس در کنسانتره نهایی ۱۶ درصد است.

۱-۳-۳- آزمایش سوم فلوتاسیون (کانسنگ اول)

در این آزمایش تأثیر کلکتور 262 Danafloat بر بازیابی مس کانسنگ اول ارزیابی شد. و کنسانتره رافر در دو مرحله شستشو داده شد. شرایط عملیاتی در جداول (۳-۵) و نتایج در جدول (۳-۶) ارائه شده است.

جدول(۳-۵): شرایط عملیاتی آزمایش سوم فلوتاسیون (کانسنگ اول)

ردیف	شستشوی دوم	شستشوی اول	رافر	آسیا	داندندنی ۸۰ میکرون (میکرون)
ردیف	شستشوی دوم	شستشوی اول	رافر	آسیا	مرحله صرف معرفها
-	-	-	۱۰۰۰	-	سیلیکات سدیم (g/t)
-	-	-	۳۰	-	Danafloat 262
۳۰	-	-	-	-	پتانسیم آمیل گزنتات (g/t)
-	-	-	-	-	سدیم ایزوپروپیل گزنتات (g/t)
-	-	-	-	-	سولفید سدیم (g/t)
-	-	-	-	-	سولفیت سدیم (g/t)
-	۱۰	۲۰	-	-	سیانید سدیم (g/t)
۱۱.۵	۱۱.۵	۱۱.۵	۱۱.۵	۷.۵	pH پالپ
-	-	-	۲۰	-	(g/t) MIBC
۳	۳	۳	۳	-	زمان آماده سازی (دقیقه)
۱۰	۱	۱:۳۰	۱۰	-	زمان کف گیری (دقیقه)
۱۰۰۰	۱۰۰۰	۱۰۰۰	۱۰۰۰	-	سرعت رotor (RPM)

جدول(۳-۶): محاسبات متالورژیکی مس آزمایش سوم فلوتاسیون (کانسنگ اول)

محصولات	وزن گرم	درصد وزنی	عيار مس درصد	محتوی مس گرم	عيار تجمیعی درصد	بازیابی درصد	بازیابی تجمعی درصد
کنسانتره نهایی	24.7	1.7	16.50	4.08	41.1	16.50	41.1
باطله کلینر ۲	33.6	2.3	2.15	0.72	48.3	8.24	7.3
باطله کلینر ۱	159.8	11.0	1.49	2.38	72.3	3.29	24.0
اسکونجر	88.8	6.1	1.17	1.04	82.7	2.68	10.5
باطله فلوتاسیون	1145.0	78.9	0.15	1.72	100.0	0.68	17.3
هد محاسباتی	1452.0	100.0	0.68	9.94	100.0	100.0	100.0

با تغییر کلکتور بازیابی کلی فلوتاسیون به حدود ۸۳ درصد افزایش یافت و با یک مرحله شستشوی بیشتر، عیار کنسانتره به بیش از ۱۶ درصد افزایش یافت.

۳-۱-۴- آزمایش چهارم فلوتاسیون (کانسنگ دوم)

در این آزمایش تأثیر کلکتور 262 بر بازیابی مس کانسنگ دوم ارزیابی شد. و کنسانتره رافر در دو مرحله شستشو داده شد. شرایط عملیاتی در جداول (۷-۳) و نتایج در جدول (۸-۳) ارائه شده است.

جدول (۷-۳): شرایط عملیاتی آزمایش چهارم فلوتاسیون (کانسنگ دوم)

۷۵					دانه‌بندی d80 (میکرون)
رمق گیر	شستشوی دوم	شستشوی اول	رافر	آسیا	مرحله صرف معرفها
-	-	-	۱۰۰۰	-	سیلیکات سدیم (g/t)
-	-	-	۳۰	-	Danafloat 262
۳۰	-	-	-	-	پتانسیم آمیل گزنتات (g/t)
-	-	-	-	-	سدیم ایزوپروپیل گزنتات (g/t)
-	-	-	-	-	سولفید سدیم (g/t)
-	-	-	-	-	سولفیت سدیم (g/t)
-	۱۰	۲۰	-	-	سیانید سدیم (g/t)
۱۱.۵	۱۱.۵	۱۱.۵	۱۱.۵	۷.۵	pH پالپ
-	-	-	۲۰	-	(g/t) MIBC
۳	۳	۳	۳	-	زمان آماده سازی (دقیقه)
۱۰	۱	۱:۳۰	۱۰	-	زمان کف‌گیری (دقیقه)
۱۰۰۰	۱۰۰۰	۱۰۰۰	۱۰۰۰	-	سرعت روتور (RPM)

جدول (۸-۳): محاسبات متالورژیکی مس آزمایش چهارم فلوتاسیون (کانسنگ دوم)

محصولات	وزن گرم	درصد وزنی	عيار مس درصد	محتوی مس گرم	عيار تجمیعی درصد	بازیابی درصد	بازیابی تجمیعی درصد
کنسانتره نهایی	12.0	1.0	12.70	1.52	23.1	12.70	23.1
باطله کلینز ۲	28.2	2.3	1.80	0.51	30.8	5.05	7.7
باطله کلینز ۱	92.8	7.5	0.81	0.75	42.2	2.09	11.4
اسکونجر	107.5	8.6	1.21	1.30	61.9	1.70	19.7
باطله فلوتاسیون	1005.0	80.7	0.25	2.51	100.0	0.53	38.1
هد محاسباتی	1245.5	100.0	0.53	6.60	100.0	6.60	100.0

با توجه به جدول (۸-۳)، در کانسنگ دوم عیار کنسانتره نهایی (۱۲/۷ درصد) و بازیابی کلی (۶۱/۹ درصد) از کانسنگ اول کمتر است.

۱-۵- آزمایش پنجم فلوتاسیون (کانسنگ اول)

هدف این آزمایش بررسی اثر افزودن آهک در ابتدای مدار (مرحله آسیاکنی) بر بازداشت پیریت کانسنگ اول انجام شد. شرایط عملیاتی در جداول (۹-۳) و نتایج در جدول (۱۰-۳) ارائه شده است.

جدول (۹-۳): شرایط عملیاتی آزمایش پنجم فلوتاسیون (کانسنگ اول)

داندنبندی ۸۰ میکرون (میکرون)	آسیا	رافر	شستشوی اول	شستشوی دوم	ردیف
مرحله مصرف معرفها					ردیف
سیلیکات سدیم (g/t)	-	۱۰۰۰	-	-	-
پتانسیم آمیل گزنتات (g/t)	-	-	-	-	۶۰
سدیم ایزوپروپیل گزنتات (g/t)	-	۱۰۰	-	-	-
سولفید سدیم (g/t)	-	-	-	-	-
سولفیت سدیم (g/t)	-	-	-	-	-
سیانید سدیم (g/t)	-	-	-	۱۵	۱۵
pH پالپ (آهک)	۱۲	۱۲	۱۲	۱۲	۱۲
(g/t) MIBC	-	-	۲۰	-	-
زمان آماده سازی (دقیقه)	۳	۳	۳	۳	۳
زمان کف گیری (دقیقه)	۱۰	۱	۱:۳۰	۱۰	-
سرعت روتور (RPM)	۱۰۰۰	۱۰۰۰	۱۰۰۰	۱۰۰۰	۱۰۰۰

جدول (۱۰-۳): محاسبات متالورژیکی مس آزمایش پنجم فلوتاسیون (کانسنگ اول)

محصولات	وزن گرم	درصد وزنی	عيار مس درصد	محتوی مس گرم	بازیابی درصد	عيار تجمعی درصد	بازیابی تجمعی درصد
کنسانتره نهایی	14.3	0.9	16.50	2.37	26.2	16.50	26.2
باطله کلینر ۲	29.8	1.8	4.53	1.35	15.0	8.42	41.2
باطله کلینر ۱	162.9	9.9	1.47	2.39	26.5	2.95	67.7
اسکونجر	152.4	9.2	0.39	0.59	6.6	1.87	74.3
باطله فلوتاسیون	1291.7	78.2	0.18	2.33	25.7	0.55	100.0
هد محاسباتی	1651.2	100.0	0.55	9.03	100.0	9.03	100.0

افزودن آهک در آسیا سبب بازداشت پیریت شده و در مقایسه با آزمایش سوم، عیار کنسانتره نهایی تغییر نکرده ولی بازیابی کنسانتره نهایی و تجمعی کاهش یافته است. احتمالاً مقدار آهک افزوده شده زیاد بوده و سبب بازداشت کانی های مس شده است.

۱-۶-۶- آزمایش ششم فلوتاسیون (کانسنگ اول)

این آزمایش با شرایط مشابه آزمایش پنجم (افزودن آهک در آسیا)، با هدف بررسی تکرارپذیری نتایج انجام شد.
شرایط عملیاتی در جدول (۱۱-۳) و نتایج در جدول (۱۲-۳) ارائه شده است.

جدول (۱۱-۳): شرایط عملیاتی آزمایش ششم فلوتاسیون (کانسنگ اول)

۷۵					دانه‌بندی d80 (میکرون)
رمق گیر	شستشوی دوم	شستشوی اول	رافر	آسیا	مرحله صرف معرفها
-	-	-	۱۰۰۰	-	(g/t) سیلیکات سدیم
۶۰	-	-	-	-	(g/t) پتانسیم آمیل گزنتات
-	-	-	۱۰۰	-	(g/t) سدیم ایزوپروپیل گزنتات
-	-	-	-	-	(g/t) سولفید سدیم
-	-	-	-	-	(g/t) سولفیت سدیم
-	۱۵	۱۵	-	-	(g/t) سیانید سدیم
۱۱.۰	۱۱.۰	۱۱.۰	۱۱.۰	۱۱.۰	pH بالا
-	-	-	۲۰	-	(g/t) MIBC
۳	۳	۳	۳	-	زمان آماده‌سازی (دقیقه)
۱۰	۱	۱:۳۰	۱۰	-	زمان کف‌گیری (دقیقه)
۱۰۰۰	۱۰۰۰	۱۰۰۰	۱۰۰۰	-	سرعت روتور (RPM)

جدول (۱۲-۳): محاسبات متالورژیکی مس آزمایش ششم فلوتاسیون (کانسنگ اول)

درصد	بازیابی تجمعی	عیار تجمعی	درصد	بازیابی	محتوی مس	گرم	عیار مس	درصد وزنی	وزن	محصولات
42.1	18.80	42.1	4.14	18.80	1.5	22.0				کنسانتره نهایی
61.7	10.10	19.6	1.93	5.07	2.5	38.0				باطله کلیز ۲
77.3	3.19	15.6	1.53	0.86	11.8	178.0				باطله کلیز ۱
81.5	2.70	4.2	0.41	0.71	3.9	58.0				اسکونچر
100.0	0.65	18.5	1.82	0.15	80.3	1210.2				باطله فلوتاسیون
					100.0	9.82	0.65	100.0	1506.2	هد محاسباتی

در این آزمایش عیار کنسانتره کانسنگ اول به ۱۸/۸ درصد مس و بازیابی کلی به ۸۱/۵ درصد رسیده است که نشان می‌دهد افزودن آهک در آسیا نقش بسیار مهمی در بازداشت پیریت دارد.

۷-۱-۳- آزمایش هفتم فلوتاسیون (کانسنگ اول)

هدف این آزمایش بررسی اثر افزودن سیانید سدیم در مدار آسیاکنی بر بازداشت پیریت در کانسنگ اول است. شرایط عملیاتی در جدول (۱۳-۳) و نتایج در جدول (۱۴-۳) ارائه شده است.

جدول (۱۳-۳): شرایط عملیاتی آزمایش هفتم فلوتاسیون (کانسنگ اول)

دانه‌بندی d80 (میکرون)	آسیا	رافر	شستشوی اول	شستشوی دوم	رمق‌گیر
صرف معرف‌ها					
سدیم ایزوپروپیل گزنتات (g/t)	–	۸۰	–	۱۰۰	–
سولفید سدیم (g/t)	–	–	–	–	–
سولفیت سدیم (g/t)	–	–	–	–	–
سیانید سدیم (g/t)	–	–	۲۰	–	–
pH بالپ	۱۰۰	۸۰۰	۱۰۰	۱۰۰	–
(g/t) MIBC	–	۲۰	–	–	–
زمان آماده‌سازی (دقیقه)	۳	۳	۳	۳	۳
زمان کف‌گیری (دقیقه)	۱۰	۱۰	۱:۳۰	۱:۳۰	۱
(RPM) سرعت رotor	–	–	۱۰۰۰	۱۰۰۰	۱۰۰۰

جدول (۱۴-۳): محاسبات متالورژیکی مس آزمایش هفتم فلوتاسیون (کانسنگ اول)

محصولات	وزن گرم	درصد وزنی	عيار مس درصد	محتوی مس گرم	عيار تجمیعی درصد	بازیابی تجمیعی درصد	عيار تجمیعی درصد	بازیابی درصد
کنسانتره نهایی	۱۶.۰	۱.۰	۱۹.۶۰	۳.۱۴	۳۶.۸	۱۹.۶۰	۱۹.۶۰	۳۶.۸
پاطله کلینر ۲	۱۷.۰	۱.۱	۱۳.۹۸	۱.۴۸	۱۷.۴	۱۳.۹۸	۱۳.۹۸	۵۴.۲
پاطله کلینر ۱	۷۰.۵	۴.۶	۵.۵۶	۱.۱۴	۱۳.۴	۵.۵۶	۵.۵۶	۶۷.۶
رافر ۲	۷۰.۰	۴.۵	۳.۷۱	۰.۶۷	۷.۹	۳.۷۱	۳.۷۱	۷۵.۵
اسکونجر	۶۶.۵	۴.۳	۲.۸۴	۰.۳۹	۴.۶	۲.۸۴	۲.۸۴	۸۰.۱
باطله فلوتاسیون	۱۳۰۵.۰	۸۴.۵	۰.۱۳	۱.۷۰	۱۹.۹	۰.۵۵	۱۰۰.۰	۱۰۰.۰
هد محاسباتی	۱۵۴۵.۰	۱۰۰.۰	۰.۵۵	۸.۵۲	۱۰۰.۰	۱۰۰.۰	۱۰۰.۰	۱۰۰.۰
	۱۰۰.۰							

در این آزمایش افزودن ۱۰۰ گرم در تن سانید سدیم به آسیا و ۲۰ گرم در تن به سلول شستشوی اول، سبب شد پیریت بهتر بازداشت شود (مشاهدات میکروسکوپی). بنابراین عیار تجمیعی افزایش و عیار کنسانتره به ۱۹/۶ درصد مس افزایش یافته است.

۱-۸-۱- آزمایش هشتم فلوتاسیون (کانسنگ اول)

هدف این آزمایش بررسی اثر افزودن سولفیت سدیم در مدار آسیاکنی بر بازداشت پیریت در کانسنگ اول است. شرایط عملیاتی در جدول (۱۵-۳) و نتایج در جدول (۱۶-۳) ارائه شده است.

جدول (۱۵-۳): شرایط عملیاتی آزمایش هشتم فلوتاسیون (کانسنگ اول)

۷۵					دانه‌بندی d80 (میکرون)
رمه‌گیر	شستشوی دوم	شستشوی اول	رافر	آسیا	مرحله صرف معرفها
-	۱۰۰	۱۰۰	۸۰۰	-	(g/t) سیلیکات سدیم
۳۰	-	-	-	-	(g/t) پتانسیم آمیل گزنتات
-	-	-	۹۰	-	(g/t) سدیم ایزوپروپیل گزنتات
-	-	-	-	-	(g/t) سولفید سدیم
-	۴۰	۴۰	-	۵۰۰	(g/t) سولفیت سدیم
-	-	-	-	-	(g/t) سیانید سدیم
۱۱.۰	۱۱.۰	۱۱.۰	۱۱.۰	۱۱.۰	pH بالا
-	-	-	۲۰	-	(g/t) MIBC
۳	۳	۳	۳	-	زمان آماده‌سازی (دقیقه)
۵	۱	۱:۳۰	۱۰	-	زمان کف‌گیری (دقیقه)
۱۰۰۰	۱۰۰۰	۱۰۰۰	۱۰۰۰	-	سرعت روتور (RPM) سرعت روتور

جدول (۱۶-۳): محاسبات متالورژیکی مس آزمایش هشتم فلوتاسیون (کانسنگ اول)

محصولات	وزن گرم	درصد وزنی	عيار مس درصد	محتوی مس گرم	عيار مس درصد	عيار تجمیعی درصد	بازیابی درصد	بازیابی تجمعی درصد
کنسانتره نهایی	18.3	1.2	17.50	3.20	43.9	17.50	43.9	43.9
باطله کلیپر ۲	14.5	1.0	8.22	1.19	60.2	13.40	16.3	60.2
باطله کلیپر ۱	68.5	4.6	1.75	1.20	76.6	5.52	16.4	76.6
اسکونجر	127.8	8.5	0.34	0.43	82.5	2.63	6.0	82.5
باطله فلوتاسیون	1275.0	84.8	0.10	1.28	100.0	0.49	17.5	100.0
هد محاسباتی	1504.1	100.0	0.49	7.30	100.0	100.0	7.30	100.0

در این آزمایش نسبت تغليظ^۱ در سلول رافر (۱۱/۴) بالا است اما در عیار و بازیابی مس تغییر محسوسی مشاهده نمی‌شود و نیاز است بررسی بیشتری انجام شود.

^۱ Enrichment Ratio

۱-۹- آزمایش نهم فلوتاسیون (کانسنگ دوم)

هدف این آزمایش بررسی اثر افزودن سولفیت سدیم در مدار آسیاکنی بر بازداشت پیریت در کانسنگ دوم است. شرایط عملیاتی در جدول (۱۷-۳) و نتایج در جدول (۱۸-۳) ارائه شده است.

جدول (۱۷-۳): شرایط عملیاتی آزمایش نهم فلوتاسیون (کانسنگ دوم)

ردیف	شستشوی دوم	شستشوی اول	رافر	آسیا	دانه بندی ۸۰ میکرون (میکرون)
ردیف	شستشوی دوم	شستشوی اول	رافر	آسیا	مرحله صرف معرفها
-	۱۰۰	۱۰۰	۸۰۰	-	سیلیکات سدیم (g/t)
۳۰	-	-	-	-	پتانسیم آمیل گزنتات (g/t)
-	-	-	۹۰	-	سدیم ایزوپروپیل گزنتات (g/t)
-	-	-	-	-	سولفید سدیم (g/t)
-	۴۰	۴۰	-	۵۰۰	سولفیت سدیم (g/t)
-	-	-	-	-	سیانید سدیم (g/t)
۱۱.۵	۱۱.۵	۱۱.۵	۱۱.۵	۱۱.۵	pH
-	-	-	۲۰	-	(g/t) MIBC
۳	۳	۳	۳	-	زمان آماده سازی (دقیقه)
۱۰	۱	۱:۳۰	۱۰	-	زمان کف گیری (دقیقه)
۱۰۰۰	۱۰۰۰	۱۰۰۰	۱۰۰۰	-	سرعت روتور (RPM)

جدول (۱۸-۳): محاسبات متالورژیکی مس آزمایش نهم فلوتاسیون (کانسنگ دوم)

محصولات	وزن گرم	درصد وزنی	عيار مس درصد	محتوی مس گرم	عيار تجمعی درصد	بازیابی درصد	عيار تجمعی درصد	بازیابی درصد
کنسانتره نهایی	6.8	0.5	20.00	1.35	19.1	20.00	19.1	20.00
باطله کلینر ۲	25.3	1.7	1.98	0.50	26.2	5.78	7.1	5.78
باطله کلینر ۱	163.0	10.9	0.69	1.12	42.1	1.53	15.9	1.53
اسکونجر	85.0	5.7	0.81	0.69	51.8	1.31	9.7	1.31
باطله فلوتاسیون	1220.0	81.3	0.28	3.42	100.0	0.47	48.2	0.47
هد محاسباتی	1500.1	100.0	0.47	7.08	100.0	100.0	7.08	100.0

در این آزمایش با افزودن آهک (برای دستیابی به pH بالای ۱۱) و سولفیت سدیم به آسیا، عیار کنسانتره نهایی ۲۰

درصد مس و بازیابی کلی مس ۵۱/۸ است.

۱۰-۱-۳- آزمایش دهم فلوتاسیون (کانسنگ دوم)

هدف این آزمایش بررسی اثر افزودن سولفور سدیم (فعال سازی کانی های اکسیدی) در مدار آسیا کنی بر افزایش بازیابی مس (کانی های اکسیدی) در کانسنگ دوم است. شرایط عملیاتی در جدول (۱۹-۳) و نتایج در جدول (۲۰-۳) ارائه شده است.

جدول (۱۹-۳): شرایط عملیاتی آزمایش دهم فلوتاسیون (کانسنگ دوم)

۷۵					دانه بندی d80 (میکرون)
رمه گیر	شستشوی دوم	شستشوی اول	رافر	آسیا	مرحله صرف معرفها
-	۱۰۰	۱۰۰	۸۰۰	-	سیلیکات سدیم (g/t)
۳۰	-	-	-	-	پتانسیم آمیل گزنتات (g/t)
-	-	-	۸۰	-	سدیم ایزوپروپیل گزنتات (g/t)
-	-	-	۱۵۰	۵۰۰	سولفید سدیم (g/t)
-	-	-	-	-	سولفیت سدیم (g/t)
-	-	-	-	-	سیانید سدیم (g/t)
۱۱.۵	۱۱.۵	۱۱.۵	۱۱.۵	۱۱.۵	pH
-	-	-	۲۰	-	(g/t) MIBC
۳	۳	۳	۳	-	زمان آماده سازی (دقیقه)
۵	۱	۱:۳۰	۱۰	-	زمان کف گیری (دقیقه)
۱۰۰۰	۱۰۰۰	۱۰۰۰	۱۰۰۰	-	سرعت روتور (RPM)

جدول (۲۰-۳): محاسبات متالورژیکی مس آزمایش دهم فلوتاسیون (کانسنگ دوم)

محصولات	وزن گرم	درصد وزنی	عيار مس درصد	محتوی مس گرم	عيار تجمیعی درصد	بازیابی درصد	بازیابی تجمیعی درصد
کنسانتره نهایی	11.2	0.7	19.35	2.17	27.3	19.35	27.3
باطله کلینز ۲	21.5	1.4	2.86	0.61	35.1	8.51	7.7
باطله کلینز ۱	194.0	12.9	0.33	0.64	43.1	1.51	8.1
اسکونجر	98.5	6.5	0.99	0.98	55.4	1.35	12.3
باطله فلوتاسیون	1180.0	78.4	0.30	3.54	100.0	0.53	44.6
هد محاسباتی	1505.2	100.0	0.53	7.94	100.0	100.0	100.0

افزودن سولفور سدیم سبب افزایش ۳ درصدی بازیابی مس شده است.

۱۱-۱-۳- آزمایش پاژدهم فلوتاسیون (کانسنسگ دوم)

هدف این آزمایش بررسی اثر افزودن سیانید سدیم در مدار آسیاکنی بر بازداشت پیریت در کانسنسگ دوم است. شرایط عملیاتی در جدول (۲۱-۳) و نتایج در جدول (۲۲-۳) ارائه شده است.

جدول (٣-٢١): شرایط عملیاتی آزمایش پازدهم فلوتاسیون (کانسنگ دوم)

۷۵					دانه‌بندی d80 (میکرون)
رمه‌گیر	شستشوی دوم	شستشوی اول	رافر	آسیا	مرحله صرف معرفها
-	۱۰۰	۱۰۰	۸۰۰	-	سیلیکات سدیم (g/t)
۳۰	-	-	-	-	پتاسیم آمیل گزنتات (g/t)
-	-	-	۸۰	-	سدیم ایزوپروپیل گزنتات ((g/t))
-	-	-	-	-	سولفید سدیم (g/t)
-	-	-	-	-	سولفیت سدیم (g/t)
-	-	۱۵	-	۱۰۰	سیانید سدیم (g/t)
۱۱.۰	۱۱.۵	۱۱.۵	۱۱.۵	۱۱.۵	pH پالپ
-	-	-	۲۰	-	(g/t) MIBC
۳	۳	۳	۳	-	زمان آماده‌سازی (دقیقه)
۵	۱	۱:۳۰	۱۰	-	زمان کف‌گیری (دقیقه)
۱۰۰۰	۱۰۰۰	۱۰۰۰	۱۰۰۰	-	سرعت روتور (RPM)

جدول (۳-۲): محاسبات متالورژیکی مس آزمایش یا زدهم فلوتاسیون (کانسنگ دوم)

محصولات	وزن گرم	درصد وزنی	عيار مس درصد	محتوی مس گرم	بازیابی مس	عيار تجمیعی درصد	بازیابی تجمیعی درصد	درصد
کنسانتره نهایی	9.3	0.6	17.28	1.61	17.4	17.28	17.4	17.4
باطله کلینر ۲	18.5	1.2	2.24	0.41	4.5	7.27	21.8	21.8
باطله کلینر ۱	192.0	12.8	0.39	0.75	8.1	1.26	29.9	29.9
اسکونجر	145.0	9.6	0.70	1.02	11.0	1.04	40.9	40.9
باطله فلوتاسیون	1140.0	75.8	0.48	5.47	59.1	0.62	100.0	100.0
هد محاسباتی	1504.8	100.0	0.62	9.26	100.0	100.0		

افزودن سیانید سدیم تأثیر مثبتی بر افزایش عیار و بازیابی کانسنگ دوم ندارد.

۱۲-۱-۳- آزمایش دوازدهم فلوتاسیون (کانسنگ دوم)

هدف این آزمایش بررسی اثر حذف نرمه بعد از مدار آسیاکنی و قبل از فلوتاسیون بر افزایش عیار کنسانتره در کانسنگ دوم است. شرایط عملیاتی در جدول (۲۳-۳) و نتایج در جدول (۲۴-۳) ارائه شده است.

جدول (۲۳-۳): شرایط عملیاتی آزمایش دوازدهم فلوتاسیون (کانسنگ دوم)

۷۵					دانه‌بندی d80 (میکرون)
رمه‌گیر	شستشوی دوم	شستشوی اول	رافر	آسیا	مرحله صرف معرفها
-	۱۰۰	۱۰۰	۸۰۰	-	سیلیکات سدیم (g/t)
۳۰	-	-	-	-	پتانسیم آمیل گزنتات (g/t)
-	-	-	۹۰	-	سدیم ایزوپروپیل گزنتات (g/t)
-	-	-	-	-	سولفید سدیم (g/t)
-	۴۰	۴۰	-	۵۰۰	سولفیت سدیم (g/t)
-	-	-	-	-	سیانید سدیم (g/t)
۱۱.۰	۱۱.۰	۱۱.۰	۱۱.۰	۱۱.۰	pH بالا
-	-	-	۲۰	-	(g/t) MIBC
۳	۳	۳	۳	-	زمان آماده‌سازی (دقیقه)
۵	۱	۱:۳۰	۱۰	-	زمان کف‌گیری (دقیقه)
۱۰۰۰	۱۰۰۰	۱۰۰۰	۱۰۰۰	-	سرعت روتور (RPM)

جدول (۲۴-۳): محاسبات متالورژیکی مس آزمایش دوازدهم فلوتاسیون (کانسنگ دوم)

محصولات	وزن گرم	درصد وزنی	عيار مس درصد	محتوی مس گرم	عيار تجمیعی درصد	بازیابی درصد	بازیابی تجمیعی
کنسانتره نهایی باطله کلینر ۲	8.5	0.5	23.56	2.00	24.3	23.56	
باطله کلینر ۱	10.5	0.7	5.49	0.58	31.3	13.57	
اسکونجر	32.0	2.1	1.06	0.34	35.4	5.72	
باطله فلوتاسیون نرمه	71.5	4.6	0.66	0.47	41.2	2.77	
هد محاسباتی	875.0	35.7	0.23	2.01	65.6	0.54	
	555.0	0.51		24.4	0.53	34.4	
	1552.5	100.0		8.23	100.0		

نمونه کانسنگ دوم دارای حجم قابل توجهی نرمه است بنابراین در این آزمایش نرمه قبل از فلوتاسیون حذف شد.

در جدول (۲۴-۳) مشاهده می‌شود که ۳۴ درصد افت مس در نرمه بوده است. ولی عیار کنسانتره تا ۲۳/۵ درصد افزایش یافته است.

۱۳-۱- آزمایش سیزدهم فلوتاسیون (کانسنگ اول)

هدف این آزمایش بررسی اثر افزودن توان سیانید سدیم و سولفیت سدیم در داخل آسیا بر بازداشت پیریت و افزایش عیار کنسانتره در کانسنگ اول است. شرایط عملیاتی در جدول (۲۵-۳) و نتایج در جدول (۲۶-۳) ارائه شده است.

جدول (۲۵-۳): شرایط عملیاتی آزمایش سیزدهم فلوتاسیون (کانسنگ اول)

۷۵					داندنبندی ۸۰d (میکرون)
ردیف گیر	شستشوی دوم	شستشوی اول	رافر	آسیا	مرحله صرف معرفها
-	۱۰۰	۱۰۰	۸۰۰	-	سیلیکات سدیم (g/t)
-	-	-	-	-	پتانسیم آمیل گزنتات (g/t)
-	-	-	۹۰	-	سدیم ایزوپروپیل گزنتات (g/t)
-	-	-	-	-	سولفید سدیم (g/t)
-	-	-	-	۵۰۰	سولفیت سدیم (g/t)
-	۱۵	۱۵	-	-	سیانید سدیم (g/t)
۱۱.۰	۱۱.۰	۱۱.۰	۱۱.۰	۱۱.۰	pH
-	-	-	۲۰	-	(g/t) MIBC
۳	۳	۳	۳	-	زمان آماده سازی (دقیقه)
۵	۱	۱:۳۰	۱۰	-	زمان کف گیری (دقیقه)
۱۰۰۰	۱۰۰۰	۱۰۰۰	۱۰۰۰	-	سرعت روتور (RPM)

جدول (۲۶-۳): محاسبات متالورژیکی مس آزمایش سیزدهم فلوتاسیون (کانسنگ اول)

محصولات	وزن گرم	درصد وزنی	عيار مس درصد	محتوی مس گرم	بازیابی درصد	عيار تجمیعی درصد	بازیابی تجمیعی درصد
کنسانتره نهایی	13.4	0.9	17.87	2.39	26.8	17.87	
باطله کلینر ۲	35.7	2.4	7.60	2.71	57.3	10.40	
باطله کلینر ۱	145.0	9.6	1.25	1.81	77.7	3.56	
اسکونجر	131.0	8.7	0.43	0.56	84.0	2.30	
باطله فلوتاسیون	1183.0	78.4	0.12	1.42	100.0	0.59	
هد محاسباتی	1508.1	100.0	0.59	8.89	100.0	8.89	

با دو مرحله شستشو عیار کنسانتره ۱۷/۸۷ درصد رسیده است. با توجه به ضریب تغییض در مراحل کلینر با افزودن یک مرحله دیگر شستشو، عیار کنسانتره را می‌توان به بالای ۲۰ درصد ارتقا داد.

۱۴-۱-۳- آزمایش چهاردهم فلوتاسیون (کانسنگ اول + دوم)

هدف این آزمایش بررسی اثر افرودن سولفیت سدیم در داخل آسیا بر بازداشت پیریت و افزایش عیار کنسانتره در مخلوط کانسنگ‌های اول (۷۰ درصد وزنی) و دوم (۳۰ درصد وزنی) است. شرایط عملیاتی در جدول (۲۷-۳) و نتایج در جدول (۲۸-۳) ارائه شده است.

جدول (۲۷-۳): شرایط عملیاتی آزمایش چهاردهم فلوتاسیون (کانسنگ اول + دوم)

۷۵					دانه‌بندی d80 (میکرون)
رمق گیر	شستشوی دوم	شستشوی اول	رافر	آسیا	مرحله صرف معرفها
-	۱۰۰	۱۰۰	۸۰۰	-	سیلیکات سدیم (g/t)
۳۰	-	-	-	-	پتانسیم آمیل گزنتات (g/t)
-	-	-	۹۰	-	سدیم ایزوپروپیل گزنتات (g/t)
-	-	-	-	-	سولفید سدیم (g/t)
-	-	-	-	۱۰۰۰	سولفیت سدیم (g/t)
-	-	-	-	-	سیانید سدیم (g/t)
۱۱.۵	۱۱.۵	۱۱.۵	۱۱.۵	۱۱.۵	pH بالا
-	-	-	۲۰	-	(g/t) MIBC
۳	۳	۳	۳	-	زمان آماده‌سازی (دقیقه)
۵	۱	۱:۳۰	۱۰	-	زمان کف‌گیری (دقیقه)
۱۰۰۰	۱۰۰۰	۱۰۰۰	۱۰۰۰	-	سرعت روتور (RPM)

جدول (۲۸-۳): محاسبات متالورژیکی مس آزمایش چهاردهم فلوتاسیون (کانسنگ اول + دوم)

محصولات	وزن گرم	درصد وزنی	عيار مس درصد	محتوی مس گرم	عيار تجمعی درصد	بازیابی درصد	بازیابی تجمعی	درصد
کنسانتره نهایی	15.6	1.0	18.28	2.85	33.3	33.3	18.28	33.3
باطله کلینر ۲	20.9	1.4	7.10	1.48	50.7	17.3	11.88	50.7
باطله کلینر ۱	147.3	9.8	0.94	1.38	66.9	16.2	3.11	66.9
اسکونجر	145.3	9.7	0.58	0.84	76.7	9.9	1.99	76.7
باطله فلوتاسیون	1171.0	78.1	0.17	1.99	100.0	23.3	0.57	100.0
هد محاسباتی	1500.0	100.0	0.57	8.55	100.0	8.55	100.0	100.0

کانسنگ دوم به دلیل دارا بودن مقدار قابل توجه نرمه، سبب کاهش بازیابی می‌شود.

۱۵-۱- آزمایش پانزدهم فلوتاسیون (کانسنگ اول)

هدف این آزمایش بررسی اثر افزایش مقدار سولفیت سدیم در داخل آسیا بر بازداشت پیریت و افزایش عیار کنسانتره در کانسنگ اول است. همچنین بررسی اثر کلکتور پتانسیم آمیل گزنتات بر افزایش بازیابی در مرحله رمک گیر است. شرایط عملیاتی در جدول (۲۹-۳) و نتایج در جدول (۳۰-۳) ارائه شده است.

جدول (۲۹-۳): شرایط عملیاتی آزمایش پانزدهم فلوتاسیون (کانسنگ اول)

۷۵						دانه‌بندی d80 (میکرون)
مرحله صرف معرفها	آسیا	رافر	شستشوی اول	شستشوی دوم	رمک گیر اول	رمک گیر دوم
سیلیکات سدیم (g/t)	—	—	۱۰۰	۱۰۰	—	—
پتانسیم آمیل گزنتات (g/t)	—	—	—	—	—	۴۰
سدیم ایزوپروپیل گزنتات (g/t)	—	—	—	—	۳۰	—
سولفید سدیم (g/t)	—	—	—	—	—	—
سولفیت سدیم (g/t)	—	—	—	—	—	—
سیانید سدیم (g/t)	—	—	—	—	—	—
pH	۱۱.۵	۱۱.۵	۱۱.۵	۱۱.۵	۱۱.۵	۱۱.۵
(g/t) MIBC	—	—	—	—	—	—
زمان آماده‌سازی (دقیقه)	—	—	۳	۳	۳	۳
زمان کف‌گیری (دقیقه)	۵	۱۰	۱	۱:۳۰	۱۰	—
سرعت روتور (RPM)	۱۰۰۰	۱۰۰۰	۱۰۰۰	۱۰۰۰	۱۰۰۰	—

جدول (۳۰-۳): محاسبات متالورژیکی مس آزمایش پانزدهم فلوتاسیون (کانسنگ اول)

محصولات	وزن گرم	درصد وزنی	عيار مس درصد	محتوی مس گرم	عيار تجمعی بازیابی درصد	عيار تجمعی بازیابی درصد	محاسبات
کلسانتره نهایی	22.5	1.5	18.13	4.08	42.0	18.13	کلسانتره نهایی
باطله کلینز ۲	15.8	1.1	8.16	1.29	13.3	14.01	باطله کلینز ۲
باطله کلینز ۱	102.3	6.9	1.17	1.20	12.3	4.67	باطله کلینز ۱
اسکونجر ۱	78.1	5.2	0.66	0.52	5.3	3.24	اسکونجر ۱
اسکونجر ۲	57.9	3.9	0.34	0.20	2.0	2.63	اسکونجر ۲
باطله فلوتاسیون	1215.0	81.5	0.20	2.43	25.0	0.65	باطله فلوتاسیون
هد محاسباتی	1491.6	100.0	0.65	9.70	100.0	100.0	هد محاسباتی

۱۶-۱-۳- آزمایش شانزدهم فلوتاسیون (کانسنگ اول)

هدف این آزمایش بررسی شستشوی مرحله سوم افزایش عیار کنسانتره نهایی در کانسنگ اول است. شرایط عملیاتی در جدول (۳۰-۳) و نتایج در جدول (۳۱-۳) ارائه شده است.

جدول (۳۱-۳): شرایط عملیاتی آزمایش شانزدهم فلوتاسیون (کانسنگ اول)

۷۵						دانه‌بندی d80 (میکرون)
رقم گیر	شستشوی سوم	شستشوی دوم	شستشوی اول	رافر	آسیا	مرحله مصرف معروفها
10	-	-	-	40	-	Aero 3477
10	-	-	-	60	-	سدیم ایزوپروپیل (g/t) گزنتات (g/t)
-	۸۰	-	-	-	-	سبانید سدیم (g/t)
۱۱.۵	۱۲/۶	۱۲/۸	۱۲/۸	۱۱.۵	۱۱.۵	pH پال
-	-	-	-	۲۰	-	(g/t) MIBC
-	۳	۳	۳	۳	-	زمان آماده سازی (دقیقه)
۵	۱	۱	۱:۳۰	۱۰	-	زمان کف گیری (دقیقه)
۱۰۰۰	۱۰۰۰	۱۰۰۰	۱۰۰۰	۱۰۰۰	-	سعت روتور (RPM)

جدول (۳۲-۳): محاسبات متالورژیکی مس آزمایش شانزدهم فلوتاسیون (کانسنگ اول)

محصولات	وزن گرم	درصد وزنی	عيار مس درصد	محتوی مس گرم	عيار مس درصد	بازیابی درصد	عيار تجمعی درصد	بازیابی تجمعی درصد
کنسانتره نهایی	11.3	0.8	21.20	2.40	21.20	26.3	21.20	26.3
باطله کلینر ۳	12.8	0.9	7.36	0.94	7.36	36.6	13.85	10.3
باطله کلینر ۲	20.9	1.4	3.78	0.79	3.78	45.3	9.17	8.7
باطله کلینر ۱	187.2	12.4	1.50	2.81	1.50	76.1	2.99	30.8
اسکونجر	87.1	5.8	0.59	0.51	0.59	81.8	2.33	5.6
باطله فلوتاسیون	1185.0	78.8	0.14	1.66	0.14	100.0	0.61	18.2
هد محاسباتی	1504.3	100.0	0.61	9.11	0.61			
				100.0				

با افروzen آهک در آسیا و استفاده از طرح مواد شیمیایی که در جدول (۳۱-۳) ارائه شده است. در سه مرحله شستشو کنسانتره رافر، عیار کنسانتره به ۲۱/۲ درصد مس رسید.

نتایج و پیشنهادها

سازمان رزمی شناسی و اکتشافی
معدن کشور

نتایج

۱. عیار مس در این دو کانسنگ از نوع سولفید توده‌ای بود و فراوان‌ترین کانی سولفیدی در آنها پیریت است. عیار طلا به ترتیب در کانسنگ‌های یک و دو، ۹۲ و ۱۵۱ میلی‌گرم در تن است.
۲. پیریت و مارکاسیت فراوان‌ترین کانی‌سولفیدی کانسنگ است. کانی‌های اولیه مس در کانسنگ کالکوپیریت بوده است که بعضاً به کالکوسیت دگرسان شده است. بیش از ۹۰ درصد از کانی‌های مس در دانه‌بندی ۲۰۰ میکرون آزاد هستند. دانه‌های درگیری اغلب با پیریت و یا مارکاسیت درگیر هستند. پیریت در دانه‌های درگیر در ابعاد ۱۰ تا ۳۰ میکرون از اجزاء متداول متن کانی کالکوپیریت و محصول دگرسانی آن یعنی کالکوسیت است. مس بصورت طبیعی نیز در نمونه وجود دارد. باطله اصلی کانسنگ کانی‌های سیلیکاته هستند. نرمه نمونه بویژه در کانسنگ دوم زیاد است.
۳. اندیس باند گلوله‌ای کانسنگ‌ها بین ۱۳ تا ۱۵ کیلووات ساعت بر تن کوچک است. که نشان می‌دهد سختی این کانسنگ‌ها نسبتاً بالا است.
۴. آزمایش‌های مختلف فلوتاسیون نشان می‌دهد جدایش پیریت از کالکوپیریت (بازداشت پیریت) تنها در صورتی ممکن است که قبیل از فعال شدن پیریت توسط یون‌های فلزی بتوان آنها را بازداشت کرد بنابراین بازداشت پیریت در ابتدای مدار آسیاکنی باید انجام شود.
۵. در نهایت در آزمایش‌های فلوتاسیون با استفاده از آهک، سدیم ایزوپروپیل گزنتات، دی‌تیوفسفات و سیانید سدیم و در سه مرحله شستشوی کنسانتره محصولی با عیار ۲۱/۲ درصد مس و ۸۲ درصد بازیابی کلی (تجمعی) بدست آمد.

پیشنهاد

۱. بهتر کانسنگ‌های سولفیدی توده‌ای بیشتری از مناطق مختلف مورد بررسی قرار گیرد و قابلیت خردایش و طرح واکنشگر استفاده شده در این تحقیق روی کانسنگ‌های مشابه نیز بررسی شود.
۲. تحقیقات برای یافتن طرح واکنشگر جایگزین روی این دو کانسنگ‌ها و کانسنگ‌های از این تیپ (سولفید توده‌ای) با چالش یکسان ادامه یابد.

منابع

سازمان رمیز شناسی و اکتشافات
محلی کشاورزی

۱.

سازمان رمیز شناسی و اکتشافات معدنی کشور